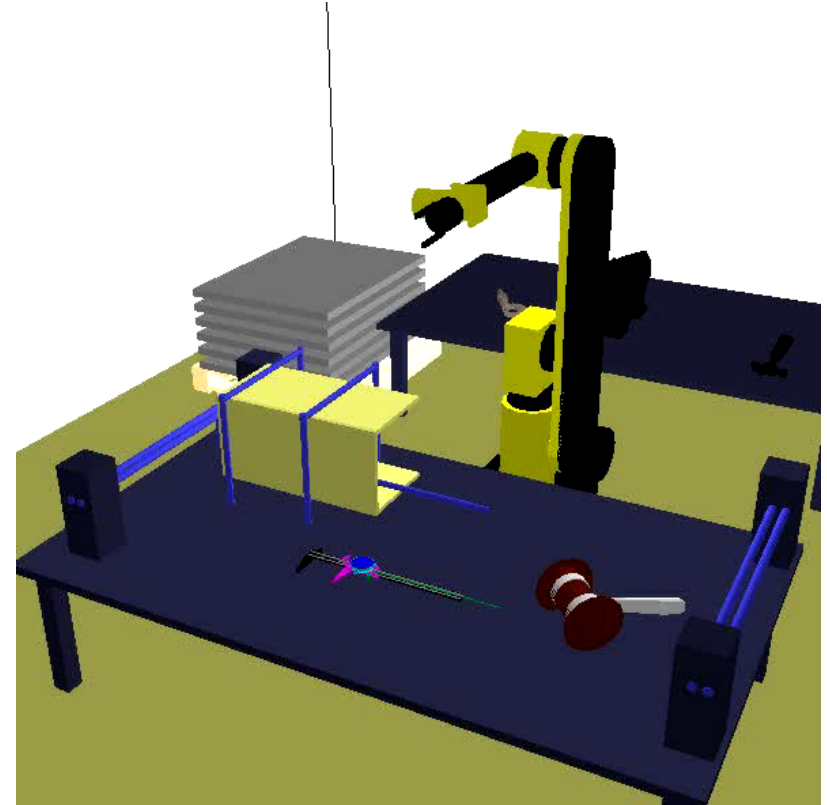
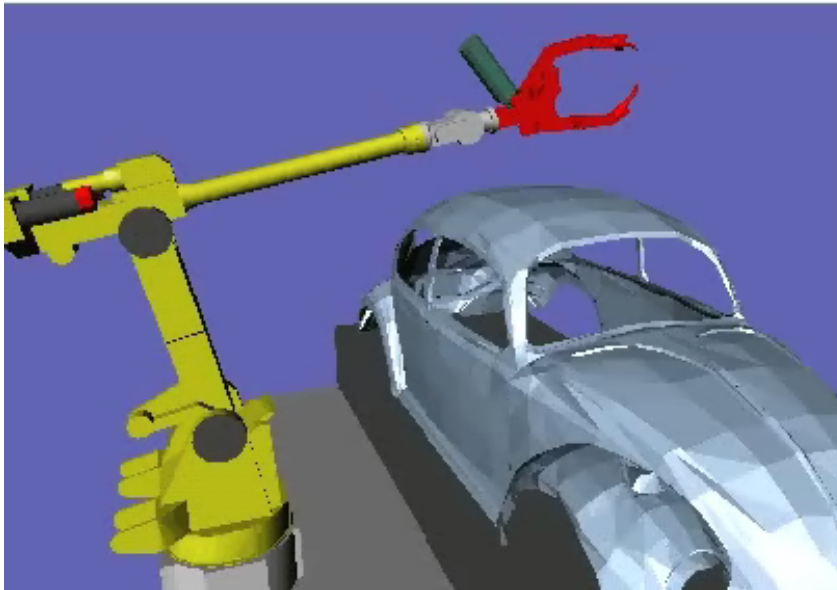


Bahnplanung

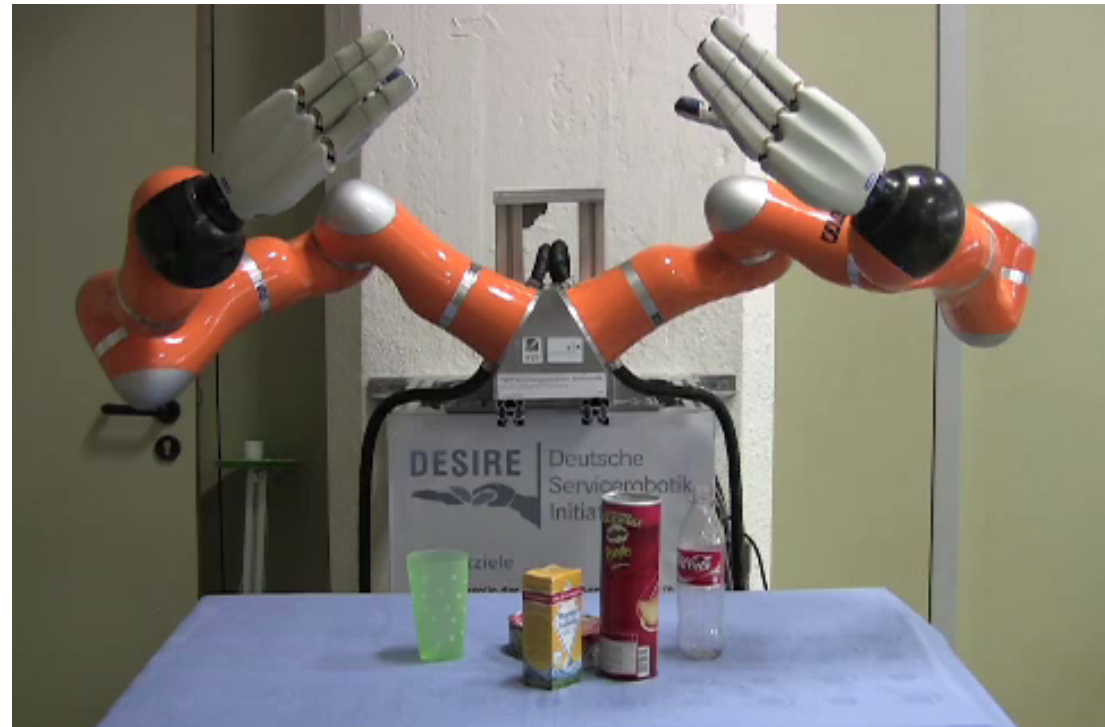
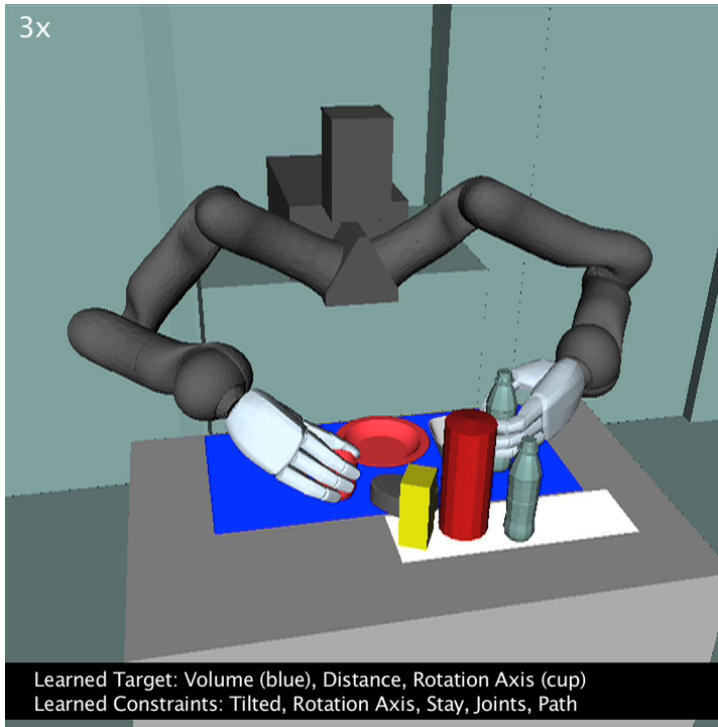
Prof. Dr.-Ing. Rüdiger Dillmann

- Motivation
- Grundlagen der Bahnplanung
- Planungsverfahren für
 - Mobile Roboter
 - Manipulatoren
 - Robotergreifer

Bahnplanung zur Erzeugung von kollisionsfreien Bewegungen



Bahnplanung mit verschiedenen Zielen und Einschränkungen



- Motivation
- Grundlagen der Bahnplanung
 - Problemstellung
 - Klassifizierung der Verfahren
 - Kartesischer Raum – Gelenkwinkelraum
 - Problemklassen
 - Begriffsbildung
 - Vorgehensweise
- Planungsverfahren
 - Mobile Roboter
 - Manipulatoren
 - Robotergreifer

- **Problemstellung**
 - Bewegungen eines Roboters werden als Zustandsänderungen über der Zeit (Trajektorie) relativ zu einem stationären Koordinatensystem (kartesischer Raum, Gelenkwinkelraum) aufgefasst.
- **Gegeben**
 - S_{Start} : Zustand zum Startzeitpunkt
 - S_{Ziel} : Zustand zum Zielzeitpunkt
- **Gesucht**
 - S_i : Zwischenzustände (Stützpunkte), damit die Trajektorie “glatt” und stetig wird
- **Bedingungen**
 - Gütekriterien, Neben- und Randbedingungen sowie Zwangsbedingungen

Klassifizierung der Verfahren

- Bahnplanungsverfahren können in unterschiedlichen **Zustandsräumen** erfolgen
 - Gelenkwinkelzustandsraum (Konfigurationsraum)
 - euklidischer Raum (Arbeitsraum, 3D / 6D)
 - Sensorzustandsraum
 - Objektzustandsraum
- Unterschieden werden noch Bahnplanungsverfahren nach **Art des Roboters**
 - Bahnplanung für mobile Roboter
 - Bahnplanung für Laufmaschinen und anthropomorphe Systeme
 - Bahnplanung für Manipulatoren
 - Greif- und Montageplanung

Problemklassen

- **Klasse a)**

bekannt: vollständiges Umweltmodell, sowie
vollständige Neben-, Rand- und Zwangsbedingungen
gesucht: Kollisionsfreie Bahn vom Start- zum Zielzustand

- **Klasse b)**

bekannt: unvollständiges Umweltmodell, sowie
unvollständige Neben-, Rand- und Zwangsbedingungen
gesucht: Kollisionsfreie Bahn vom Start- zum Zielzustand
Problem: Kollision mit unbekanntem Objekten

Problemklassen

- **Klasse c)**

bekannt: zeitvariantes Umweltmodell (bewegliche Hindernisse)

gesucht: Kollisionsfreie Bahn vom Start- zum Zielzustand

Problem: Hindernisse in Ort und Zeit variant

- **Klasse d)**

bekannt: kein Umweltmodell

gesucht: Kollisionsfreie Bahn vom Start- zum Zielzustand

Problem: Kartografieren

- **Klasse e)**

bekannt: zeitvariantes Umweltmodell

gesucht: Bahn zu einem bewegliche Ziel (Rendezvous-Problem)

Problem: Zielzustand in Ort und Zeit beweglich

Definitionen (1)

- **Konfiguration**

Eine **Konfiguration** q beschreibt den Zustand eines Roboters A

- im euklidischen Raum durch seine Lage und Orientierung
- im Gelenkwinkelzustandsraum durch die Werte der Gelenke

- **Konfigurationsraum**

Der **Konfigurationsraum** (*configuration space*) \mathcal{C} des Roboters A ist der Raum aller möglichen Konfigurationen von A

- **Weg**

Ein **Weg** für den Roboter A von der Konfiguration q_{Start} zur Konfiguration q_{Ziel} ist eine stetige Abbildung

$$\tau: [0, 1] \rightarrow \mathcal{C}$$

$$\text{mit } \tau(0) = q_{\text{Start}}$$

$$\tau(1) = q_{\text{Ziel}}$$

Definitionen (2)

- **Arbeitsraumhindernis**

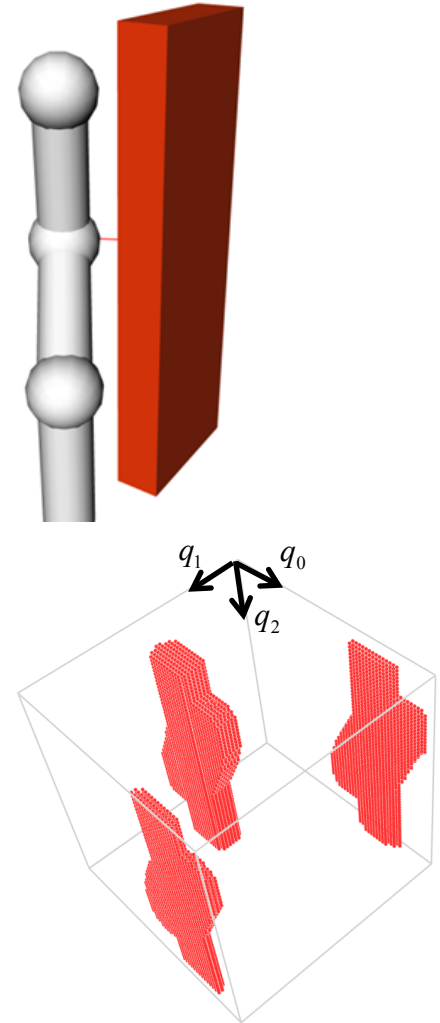
Ein **Arbeitsraumhindernis H** ist der Raum, welcher von einem Objekt im Arbeitsraum eingenommen wird.

- **Konfigurationsraumhindernis**

Ein **Konfigurationsraumhindernis C_H** ist die Menge aller Punkte des Konfigurationsraumes, welche innerhalb eines Arbeitsraumhindernisses H_i liegen.

- **Hindernisraum**

Der **Hindernisraum** ist die Menge aller Konfigurationsraumhindernisse: $C_{\text{obst}} = \cup C_{H_i}$

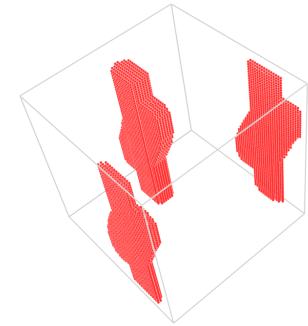


Definitionen (3)

- **Freiraum**

Der **Freiraum** ist die Menge aller Punkte aus \mathcal{C} , welche nicht im Hindernisraum liegen

$$\mathcal{C}_{\text{free}} = \{ q \in \mathcal{C} \mid q \notin \mathcal{C}_{\text{obst}} \} = \mathcal{C} \setminus \mathcal{C}_{\text{obst}}$$



Aufwand für die Berechnung des Freiraums:

$O(m^n)$

mit n : Anzahl der Bewegungsfreiheitsgrade des Roboters
 m : Anzahl der Hindernisse

→ sehr hoch, für komplexe Kinematiken ($n > 3$) kann $\mathcal{C}_{\text{free}}$ nicht effizient berechnet werden

→ Einsatz von approximativen Verfahren zur vereinfachten Repräsentation des Freiraumes.

- Motivation
- Grundlagen der Bahnplanung
- Planungsverfahren für
 - Mobile Roboter
 - Voronoi-Diagramme
 - Sichtgraphen
 - Zellzerlegung
 - Potentialfelder
 - Manipulatoren
 - Robotergriffe

Definitionen

- Umweltmodellierung:
 - **Exakt:** Beispielsweise über CSG (constructed-solid-geometry), in Form einer algebraischen Beschreibung
 - **Approximiert:** Die Umwelt wird durch Näherungen beschrieben (Kuben, verallgemeinerte Zylinder, Polyeder,.....)
- Planungsalgorithmen:
 - **Vollständige** Verfahren: Die Algorithmen liefern immer eine korrekte Lösung und können ermitteln, ob keine Lösung existiert.
 - **Probabilistisch vollständige** Verfahren:
Falls eine Lösung existiert konvergiert die Wahrscheinlichkeit, dass eine Lösung gefunden wird, bei fortschreitender Zeit gegen 1.
Existiert keine Lösung, kann dies nicht ermittelt werden.
-> Randomisierte Algorithmen

Beispiel: Straßenkarte

Gegeben:

- 2-dim. Weltmodell
- Start und Ziel

Aufgabe:

Suche günstigste Verbindung von Start zu Ziel

Lösung:

- 1) Konstruiere ein Netz von Wegen in C_{free}
- 2) Bilde q_{Start} und q_{Ziel} auf ab
 $\rightarrow q'_{\text{Start}} = W(q_{\text{Start}}), q'_{\text{Ziel}} = W(q_{\text{Ziel}})$
- 3) Suche einen Weg, der q'_{Start} mit q'_{Ziel} verbindet

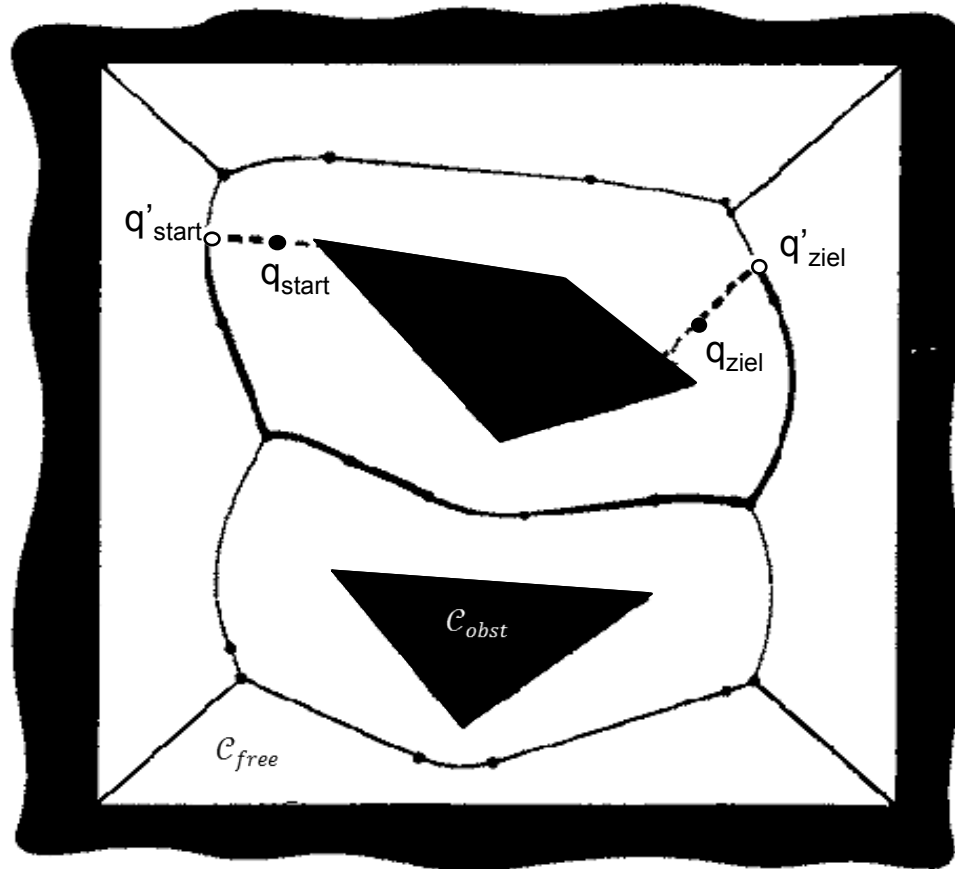
Teilaufgaben

1. Wegkonstruktion mit
 - Retraktionsverfahren, z.B. Voronoi-Diagramm
 - Sichtgraphen

2. Suche im Netz, z.B. mit
 - A*-Algorithmus (Baumsuche)
 - euklidischer Abstand
 - Potentialfeld

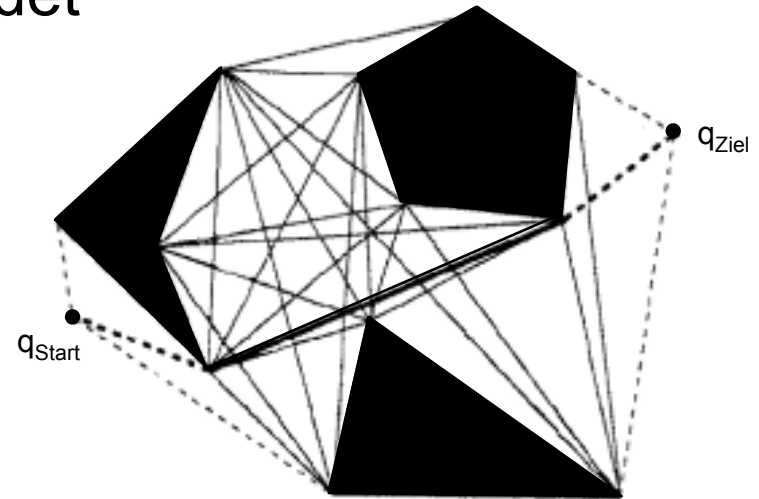
Beispiel: Voronoi-Diagramm

p : mittlerer Abstand

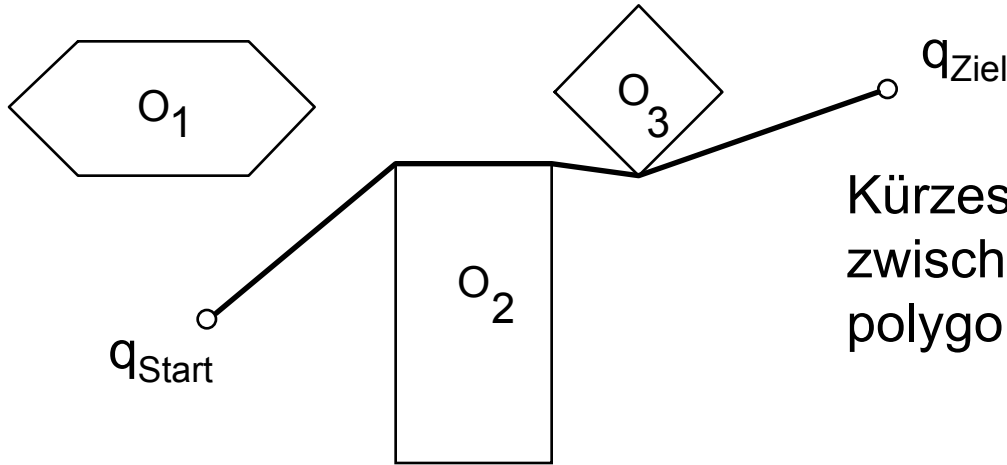


Sichtgraphen

- Konstruktion:
 - Verbinde jedes Paar von Eckpunkten auf dem Rand von $\mathcal{C}_{\text{free}}$ durch ein gerades Liniensegment, wenn das Segment kein Hindernis schneidet
 - Verbinde q_{Start} und q_{Ziel} analog

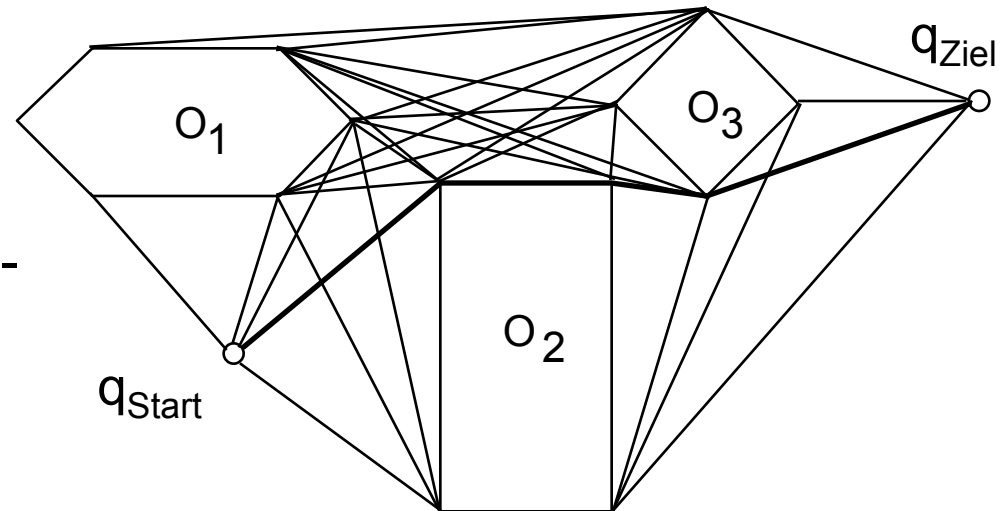


Beispiele für Sichtgraphen



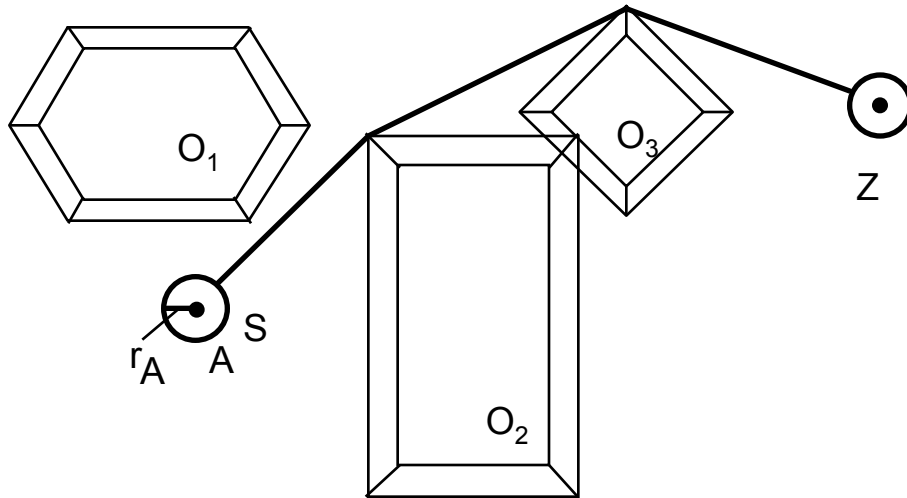
Kürzester kollisionsfreier Weg
zwischen konvexen
polygonalen Hindernissen

Methode des Sichtgraph-
Algorithmus



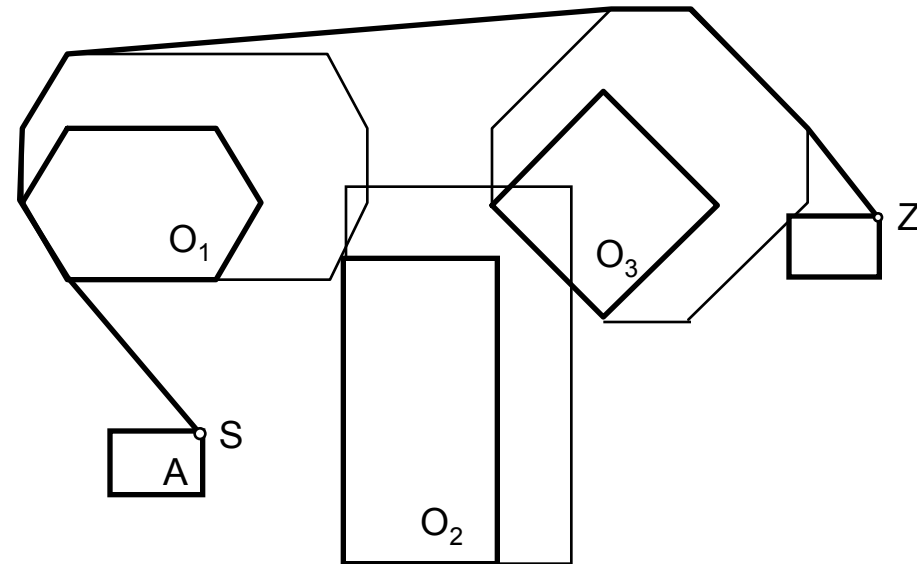
- Wege sind nur “halbfrei” (nicht kollisionsfrei), da Hinderniskanten auch Wegsegmente sein können. Abhilfe durch Erweiterung der Hindernisse.
- Wenn ein Weg gefunden ist, ist es auch der kürzeste Weg
- Methode ist exakt, wenn Roboter nur 2 translatorische Freiheitsgrade hat und sowohl Roboter als auch Hindernisse durch konvexe Polygone dargestellt werden können
- Methode auch im ³ anwendbar, jedoch sind die gefundenen Wege i.A. keine kürzesten Wege mehr

Erweiterung der Hindernisse



Vergrößern von Hindernissen durch einen Kreis

Vergrößern von Hindernissen durch ein Rechteck



Zellenzerlegung

Vorgehen:

1. Zerlege C_{free} in solche Zellen, so dass ein Weg zwischen 2 Konfigurationen innerhalb einer Zelle leicht zu finden ist
2. Stelle die Nachbarschaft (Adjadenz) Relation in einem Graphen dar
3. Suche den optimalen Weg von q_{Start} nach q_{Ziel} in dem Graphen

Es gibt 2 Zerlegungsarten:

- exakte Zerlegungsart
- approximative Zerlegungsart

Exakte Zellenzerlegung

Zerlegung des Freiraumes \mathcal{C}_{free} in Zellen Z_i , so dass:

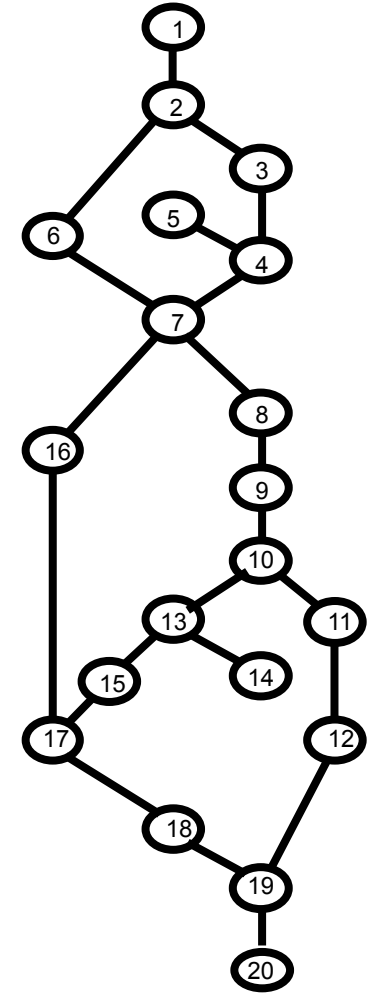
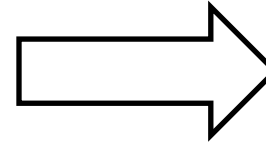
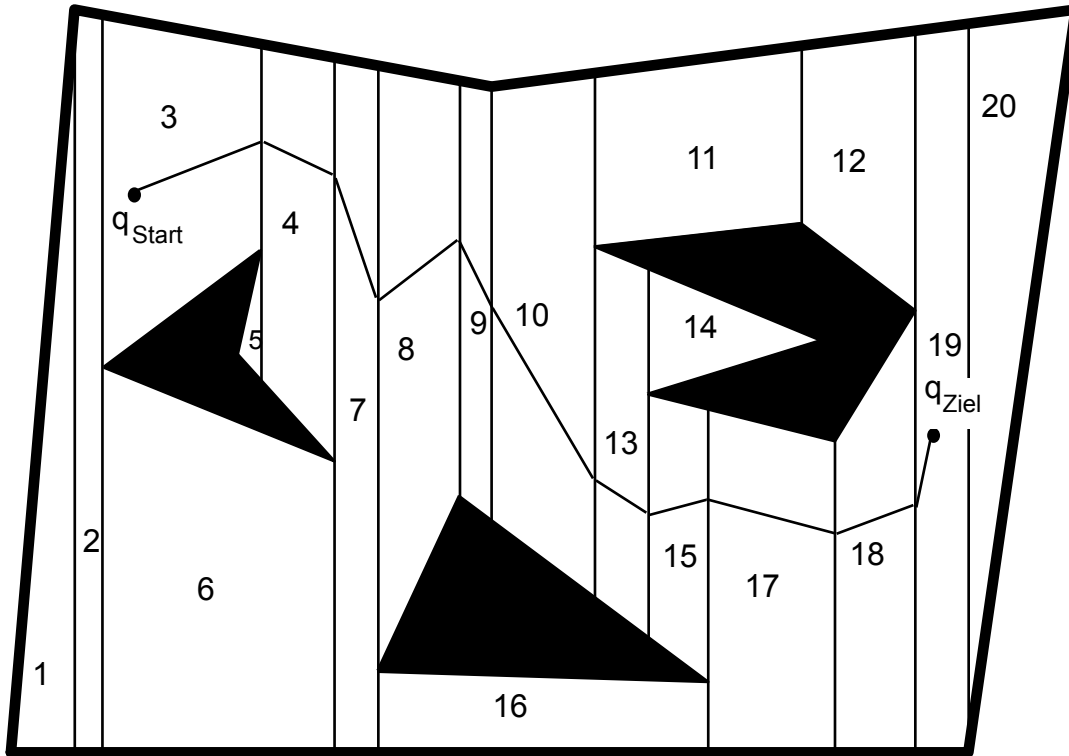
- die Zellen sich nicht überlappen

$$\forall i, k \quad i \neq k : Z_i \cap Z_k = \emptyset$$

- die Vereinigungsmenge aller Z_i ist \mathcal{C}_{free}

$$\bigcup_{i=1}^n Z_i = \mathcal{C}_{free}$$

Beispiel



Exakte Zellenzerlegung mit Line-Sweep

Verbindungsgraph

Approximative Zellenzerlegung

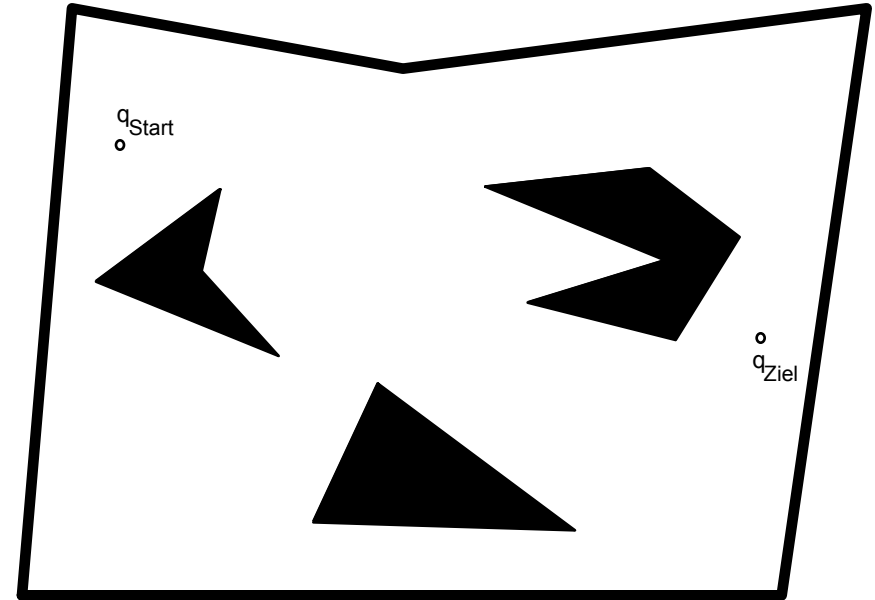
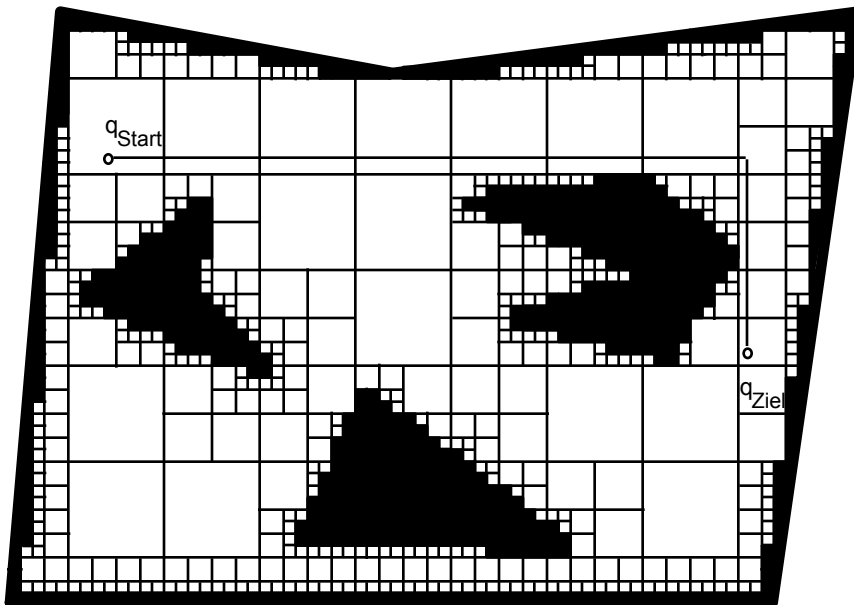
Vorgehen:

1. Zerlege den Freiraum C_{free} in Zellen mit vordefinierter Form (z.B. rechteckig)
2. Wenn eine Zelle nicht vollständig in C_{free} liegt, verringere die Größe und zerlege die Zelle weiter (z.B. Quadtree)
3. Wende diesen Schritt nur bis zu einer Minimalgröße der Zellen an

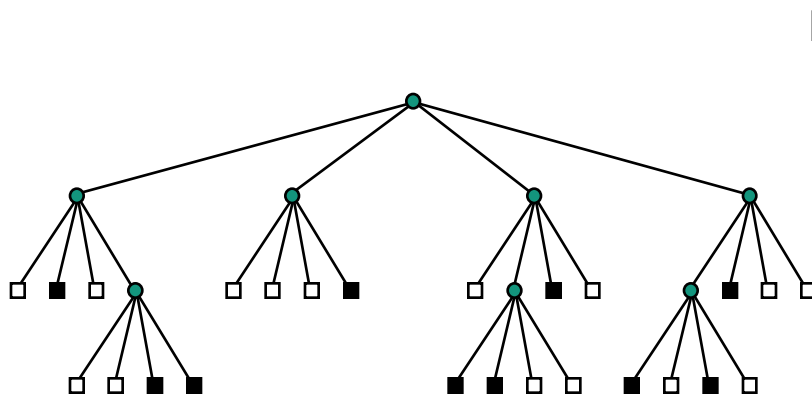
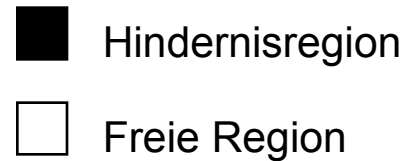
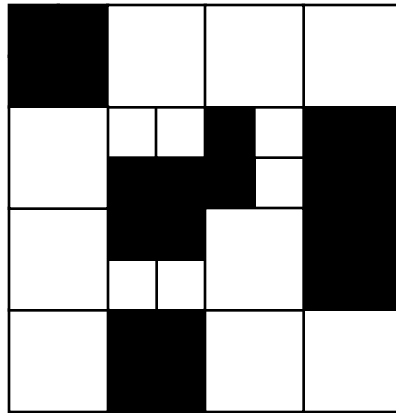
Vorteil: einfache Zerlegung → einfachere Wegsuche

Nachteil: der Freiraum kann i.A. nur annähernd beschrieben werden

Approximative Zellenzerlegung

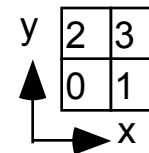


Beispiel: Quadtree mit Baumsuche (1)



Ebene

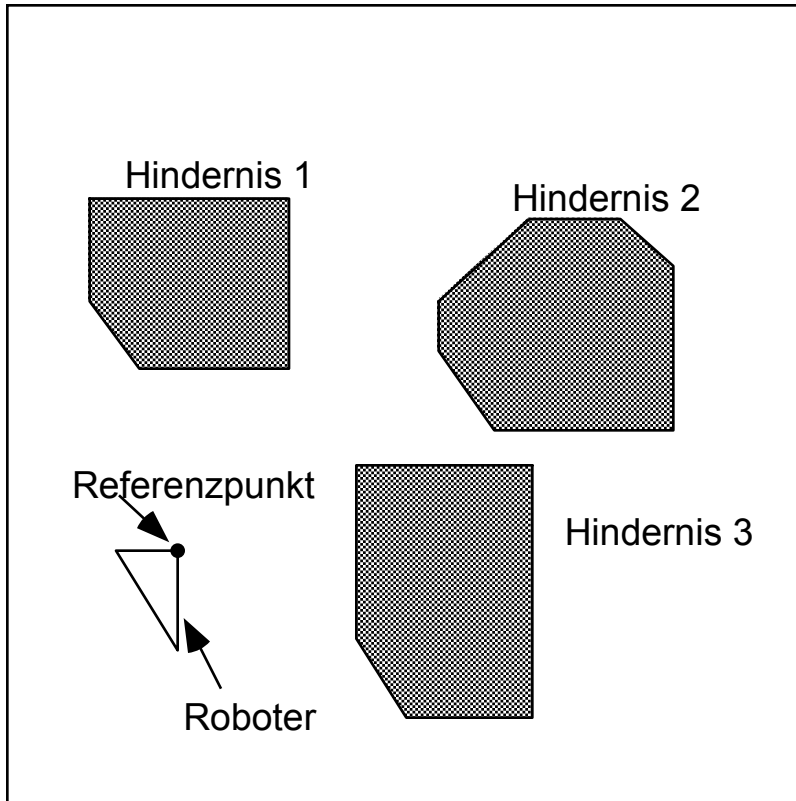
0
1
2
3



- Schwarzer Knoten
- Weisser Knoten
- Gemischter Knoten

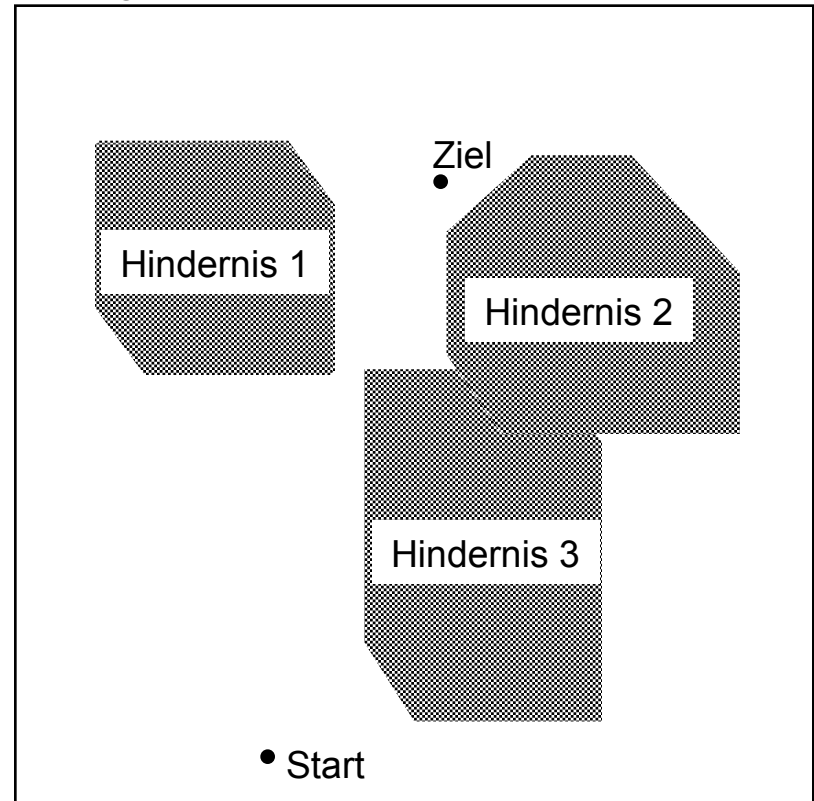
Beispiel: Quadtree mit Baumsuche (2)

Arbeitsraum



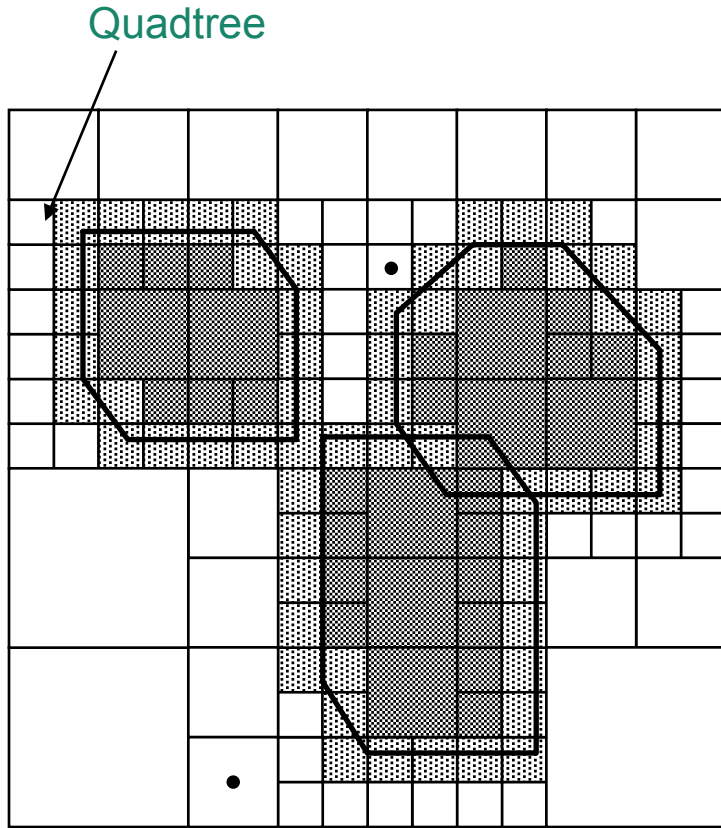
Arbeitsraum eines Roboters mit Hindernissen

Konfigurationsraum

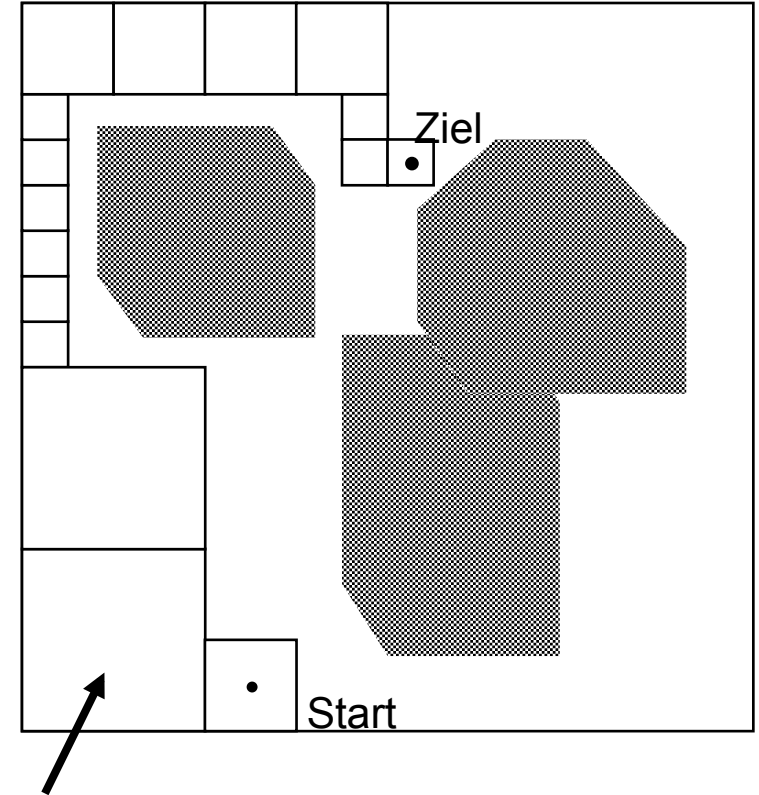


Konfigurationsraum für das vorliegende Robotersystem

Beispiel: Quadtree mit Baumsuche (3)



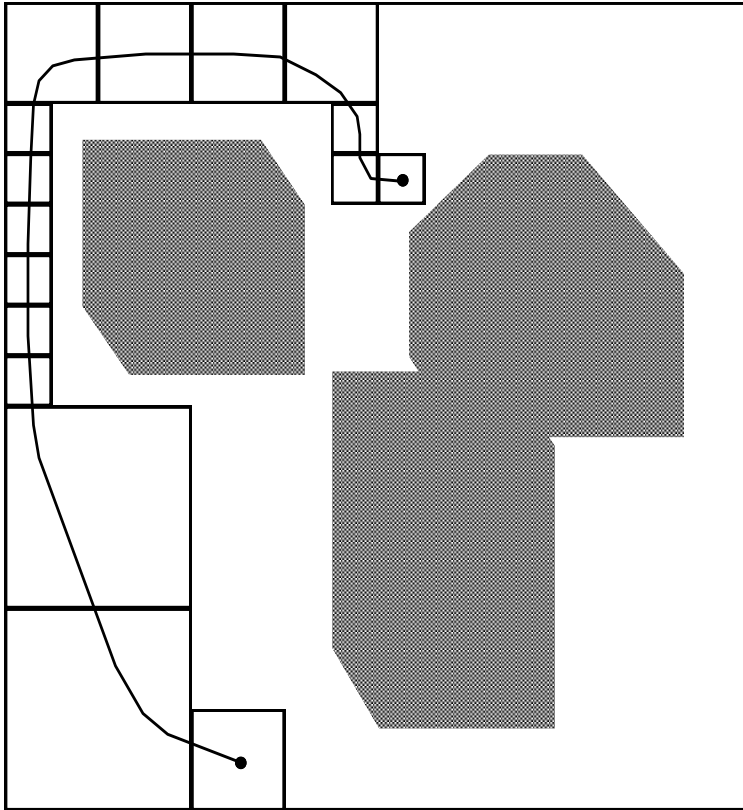
Zerlegung des Konfigurationsraums
in Kachelzonen



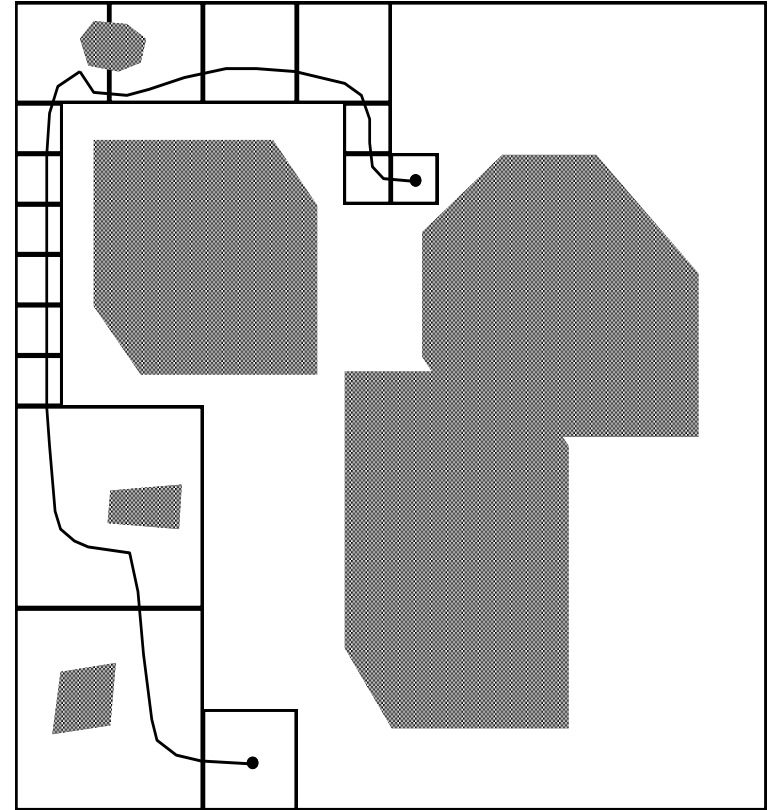
Freie Kachel

Folge von freien Kacheln vom
Start- zum Zielpunkt

Beispiel: Quadtree mit Baumsuche (4)



Hindernisfreie Verfahrerroute



Ausweichmanöver um lokale Hindernisse

Potentialfelder (1)

- Der Roboter bewegt sich unter dem Einfluss von Kräften, welche ein Potentialfeld auf ihn ausübt
- **Definition:**
 - Ein Potentialfeld U ist eine Skalarfunktion über den Freiraum

$$U: \mathcal{C}_{free} \rightarrow \mathbb{R}$$

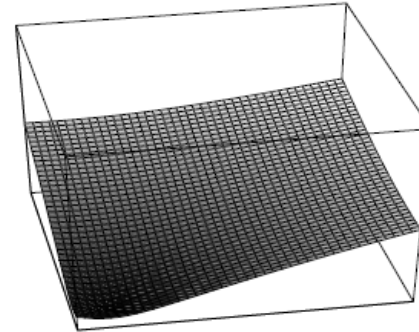
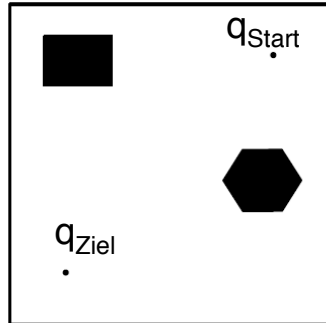
- Die Kraft in einem Punkt q des Potentialfeldes ist der negative Gradient in diesem Punkt

Potentialfelder (2)

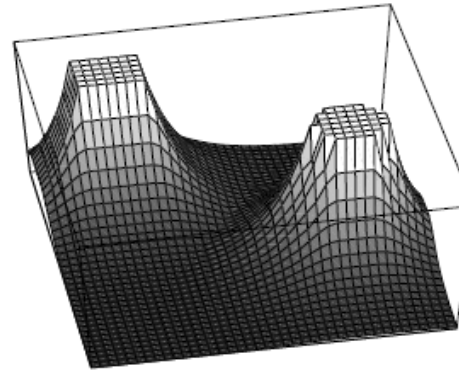
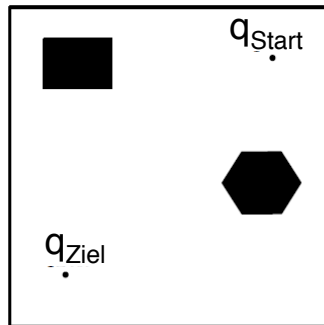
- Abstoßungspotenzial
 - Hindernisse erzeugen ein abstoßendes Potential
 - In großem Abstand zu Hindernissen soll der Roboter nicht beeinflusst werden
- Anziehungspotential
 - Es soll nur ein Minimum in q_{Ziel} geben

Beispiel: Potentialfelder (1)

- Die Zielstellung q_{Ziel} hat ein Anziehungspotential U_{an}



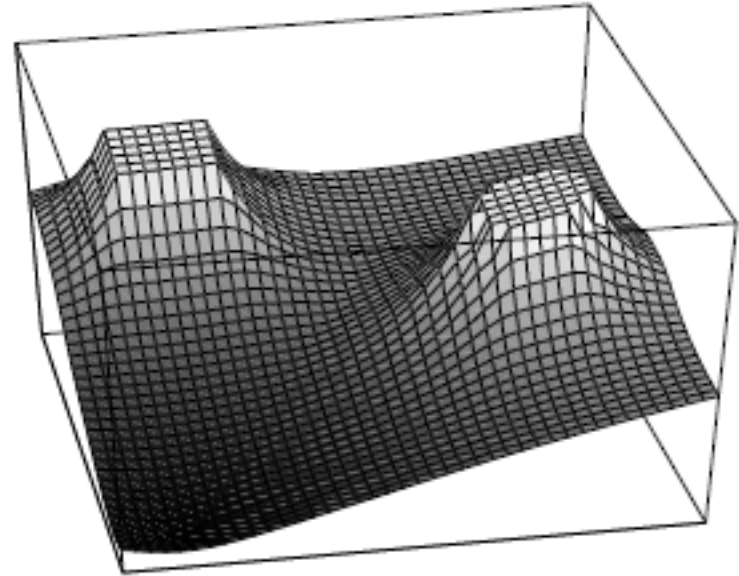
- Die Hindernisräume C_{Hi} haben ein Abstoßungspotential U_{ab}



Beispiel: Potentialfelder (2)

- Die Summe der einwirkenden Kräfte bestimmt die Richtung der Bewegung.
- Für das Potentialfeld gilt: $U(q) = U_{An}(q) + U_{Ab}(q)$
- Für das Kräftefeld gilt:

$$F(q) = F_{an}(q) + F_{ab}(q)$$



Problem: Potentialfelder

Lokale Minima

Durch Summation von U_{A_n} und U_{A_b} kann U lokale Minima besitzen. Wenn der Roboter sich in Richtung des negativen Gradienten des Potentialfeldes bewegt, kann er in einem solchen lokalen Minimum “steckenbleiben”.

Maßnahmen:

- 1) U_{A_n} und U_{A_b} so definieren, dass U kein lokales Minimum außer $q = q_{Ziel}$ hat
- 2) Im Suchalgorithmus Techniken zur “Flucht” aus dem lokalen Minimum anwenden

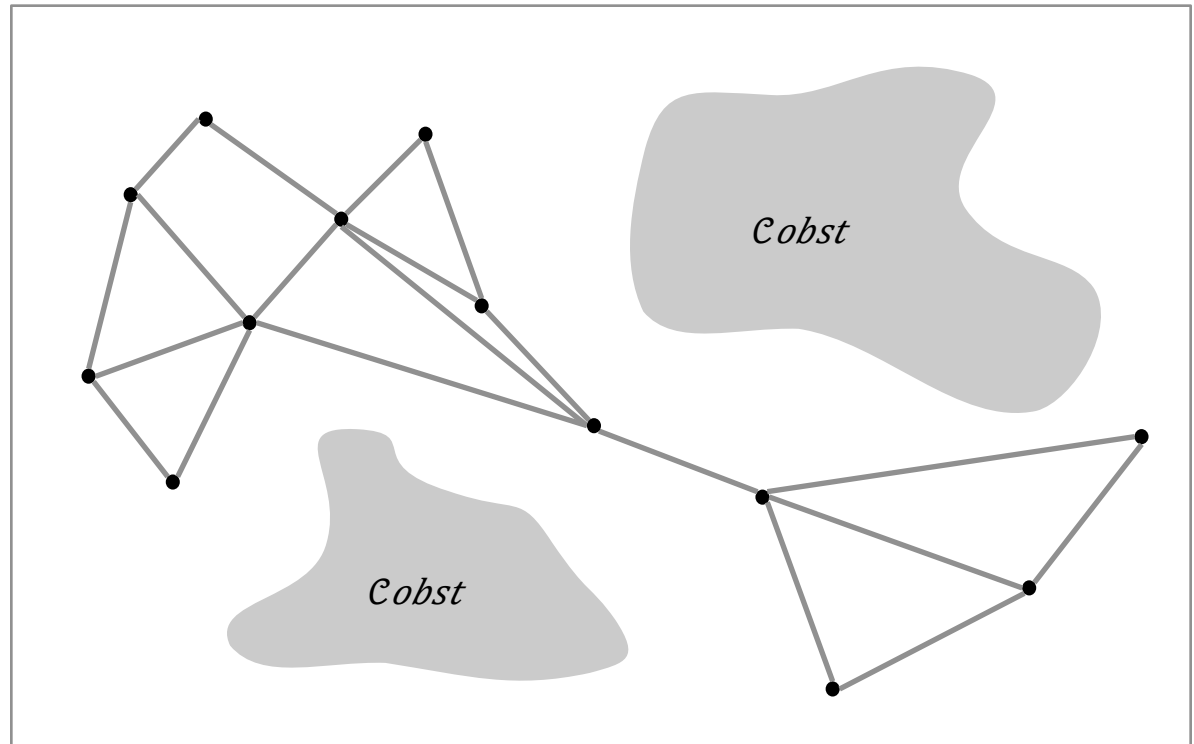
- Motivation
- Grundlagen der Bahnplanung
- Planungsverfahren für
 - Mobile Roboter
 - Manipulatoren
 - Probabilistic Roadmaps (PRM)
 - Rapidly-exploring Random Trees (RRT)
 - Robotergreifer

Probabilistic Roadmaps (PRM)

- **Schritt 1:** Vorverarbeitung
 - Erzeugung einer kollisionsfreien Straßenkarte
→ Graph
- **Schritt 2:** Anfrage
 - Verbinde q_{Start} und q_{Ziel} mit der Karte
 - Suche einen Weg durch den Graphen
- Motivation: Approximation des Freiraumes
 - > Effizienter als die Erzeugung einer expliziten Repräsentation des Freiraumes

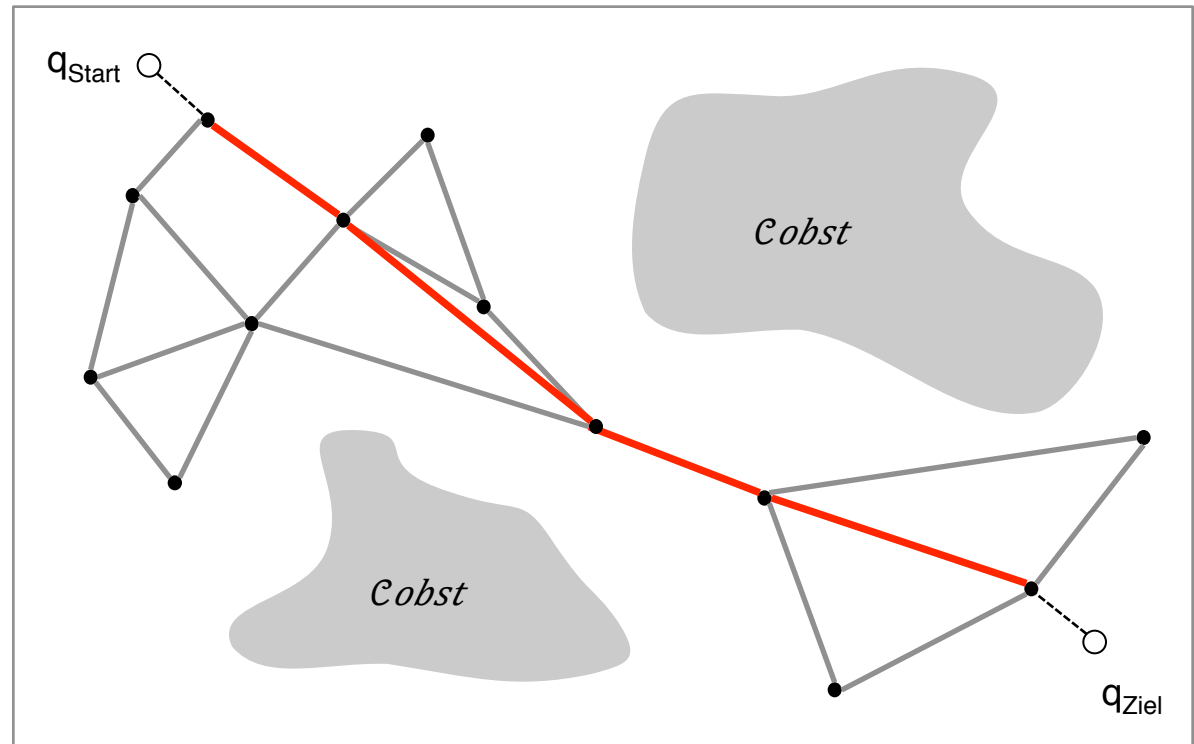
Probabilistic Roadmaps (PRM)

- Vorverarbeitung:
 - Zufällige Erzeugung von kollisionsfreien Stichproben (Sampling)
 - Stichproben werden über kollisionsfreie Pfade miteinander verbunden



Probabilistic Roadmaps (PRM)

- Anfrage:
 - Verbinde Start und Ziel mit dem Wegenetz
 - Suche im Graphen



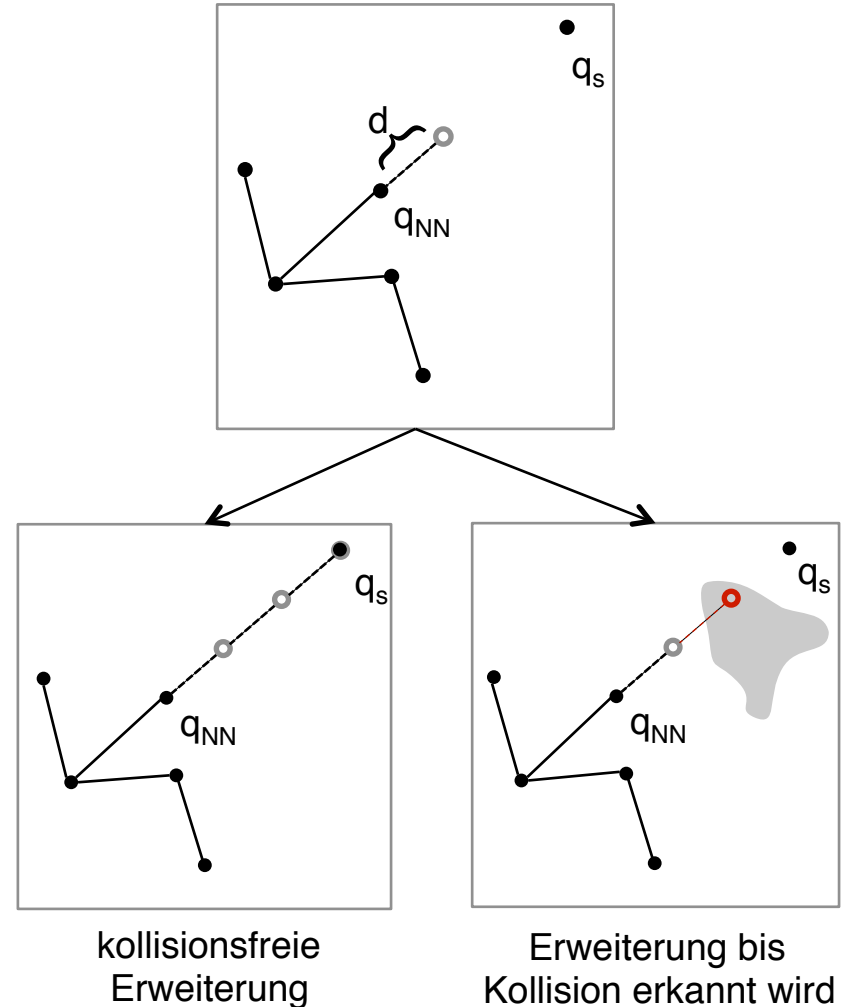
RRT: Rapidly-exploring Random Trees (1)

- Algorithmus zur Einmalanfrage (keine Vorverarbeitung nötig)
- Aufbau zweier Bäume zur Approximation des Freiraumes
- Zufallsgesteuerter Algorithmus
- Probabilistisch vollständig
- Der RRT-Ansatz lässt sich effizient für hochdimensionale Problemstellungen einsetzen

RRT: Rapidly-exploring Random Trees (2)

Aufbau der RRT-Bäume:

- Wurzelknoten: q_{Start} bzw. q_{Ziel}
- Zufällige Erzeugung kollisionsfreier Stichproben q_s
- Suche des nächsten Nachbarn q_{NN}
- Erweiterungsschritte in Richtung q_s
 - Mit Schrittweite d
 - bis Kollision erkannt oder q_s erreicht wird



RRT: Rapidly-exploring Random Trees (2)

BUILD_RRT($K_{\text{Start}}, n, \epsilon$)

1. $T.\text{init}(K_{\text{Start}})$
2. for $k = 1$ to n
3. $K_{\text{Zuf}} \leftarrow \text{RAND_CONF}()$
4. $K_{\text{Nahe}} \leftarrow \text{NEAREST_VERTEX}(K_{\text{Zuf}}, T)$
5. $K_{\text{Neu}} \leftarrow \text{EXTEND}(K_{\text{Nahe}}, K_{\text{Zuf}}, \epsilon)$
6. if $\text{VALID}(K_{\text{neu}})$
7. $T.\text{add_vertex}(K_{\text{Neu}})$
8. $T.\text{add_edge}(K_{\text{Nahe}}, K_{\text{Neu}})$
9. Return T

Kommentare:

Neuer Baum mit Startkonfiguration
in der Wurzel

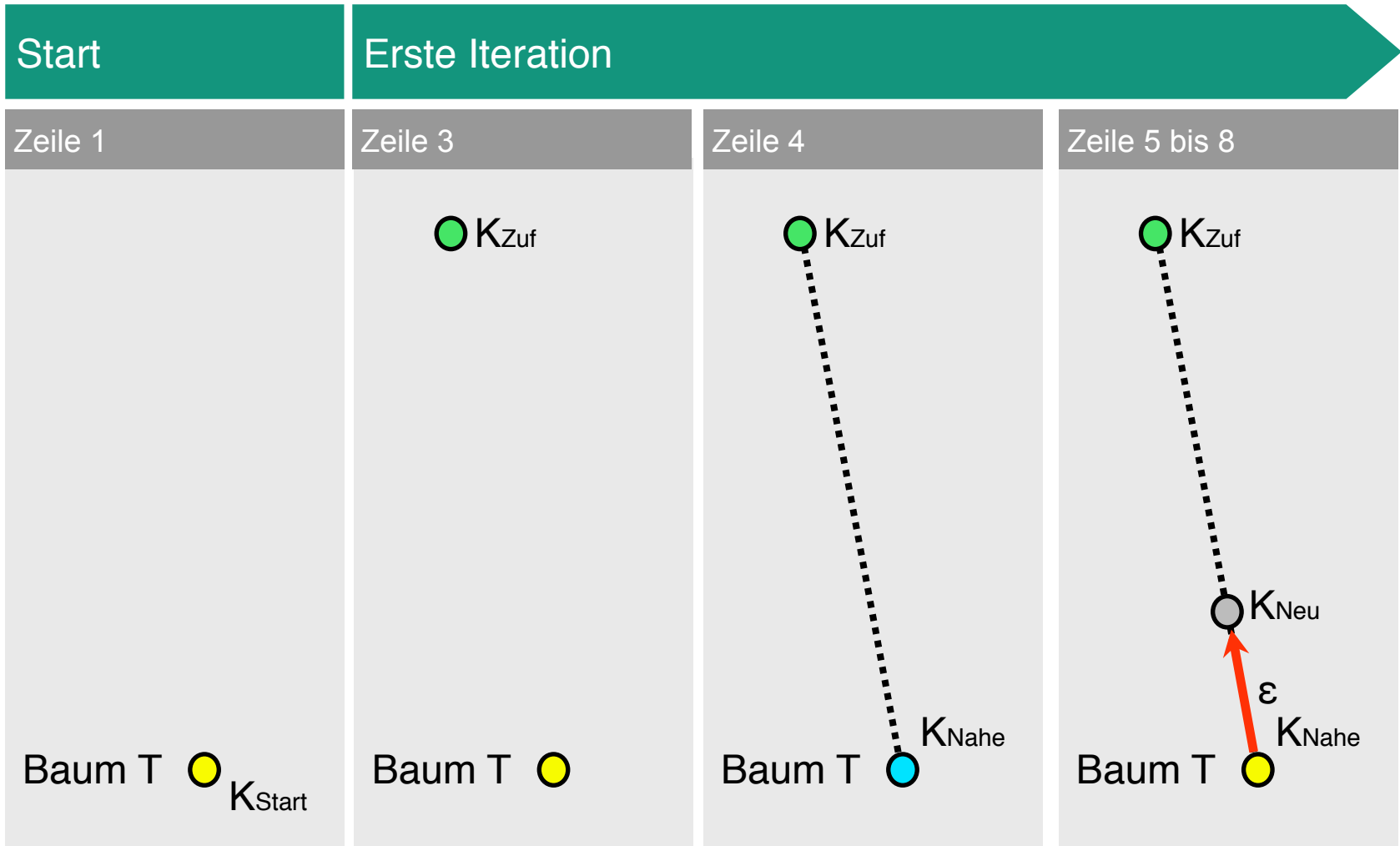
Gleichverteilt zufällige Erzeugung
einer Konfiguration

Bestimmung des nächsten Knotens

Erzeugung einer neuen Konfiguration

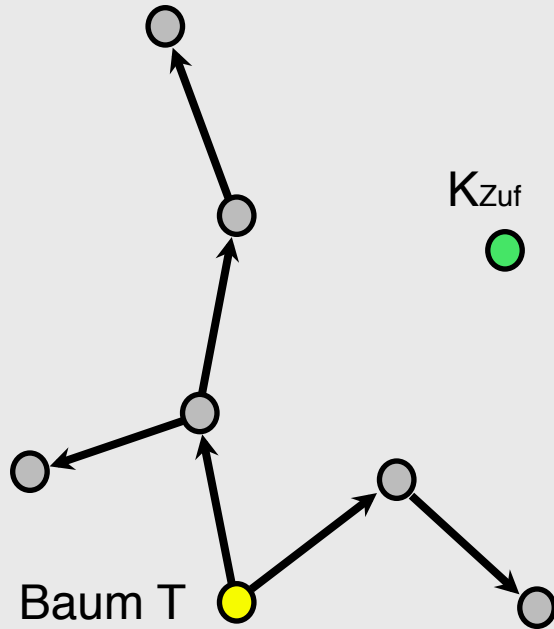
Falls gültige Konfiguration

Hinzufügen eines Knotens
und einer Kante

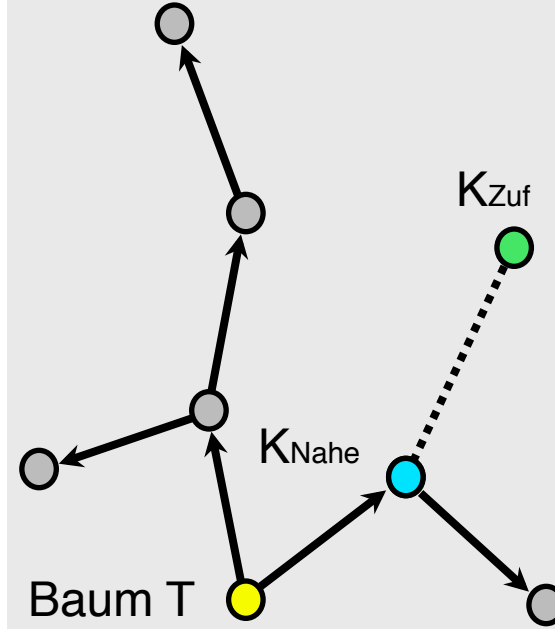


7te Iteration

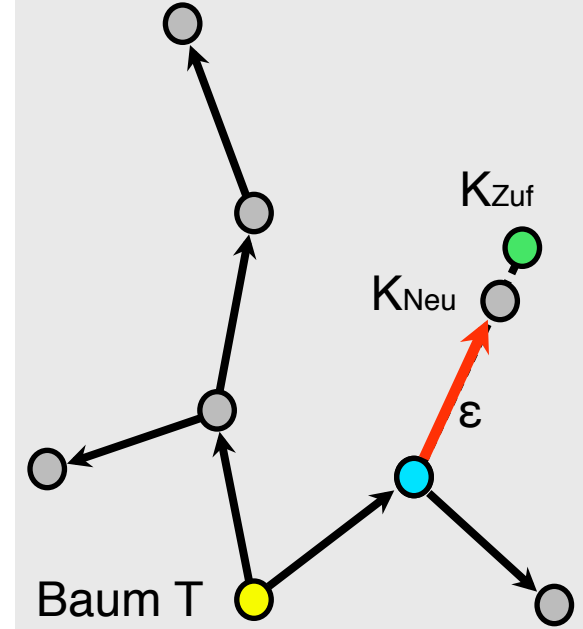
Zeile 3



Zeile 4

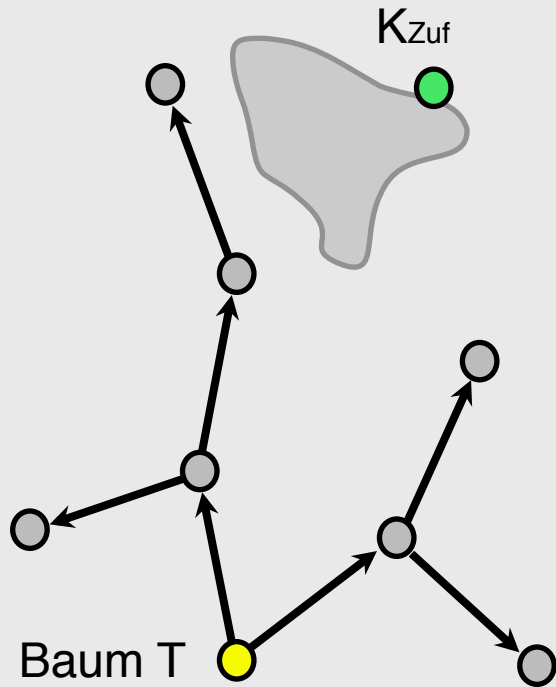


Zeile 5 bis 8

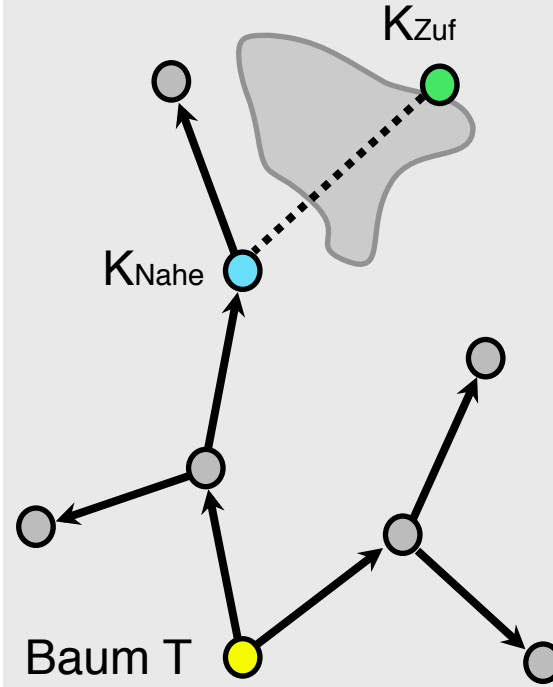


8te Iteration: Hindernis?

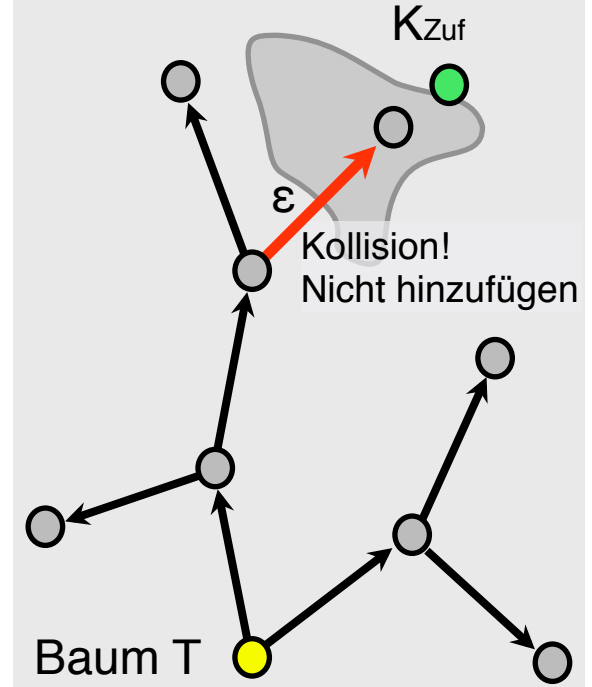
Zeile 3



Zeile 4



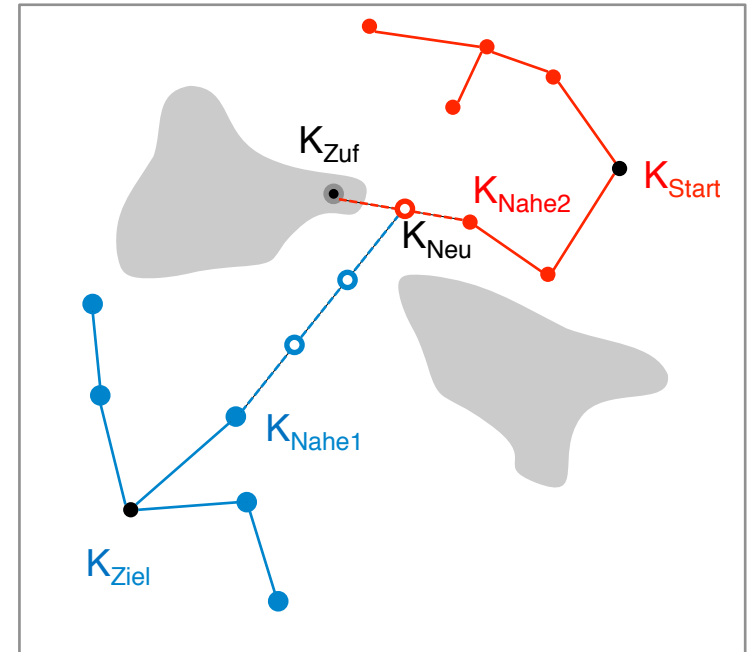
Zeile 5 bis 8



RRT: Rapidly-exploring Random Trees (3)

Zielgerichtetes Planen:

- Aufbau von zwei Bäumen T_1 und T_2
 - Wurzelknoten: K_{Start} bzw. K_{Ziel}
- Stichprobe K_{Zuf} wird zur Erweiterung von T_1 verwendet mit Ergebnis K_{Neu}
- Erweiterung von T_2 mit K_{Neu} bis K_{Neu} erreicht oder $!\text{VALID}(K_{\text{Neu}})$
- Falls K_{Neu} von T_2 erreicht wird, ist ein gültiger Pfad gefunden
- Sonst: Vertausche Rolle von T_1 und T_2

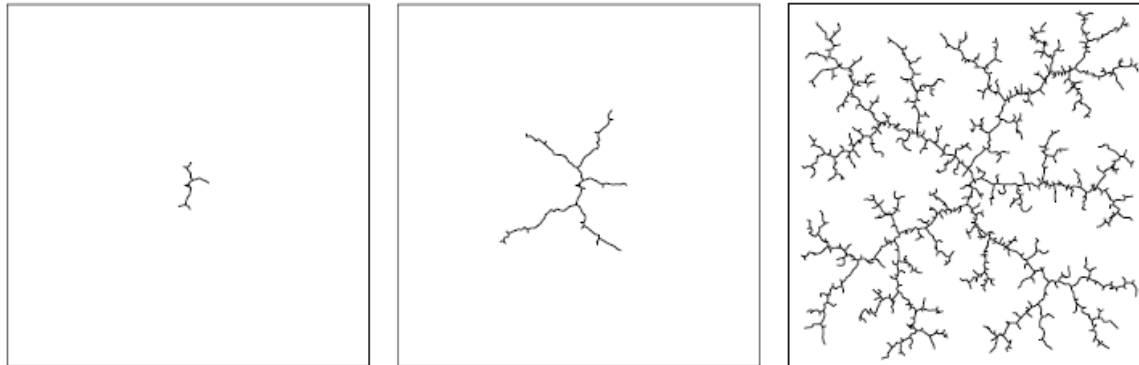


rot: T_1 , blau: T_2

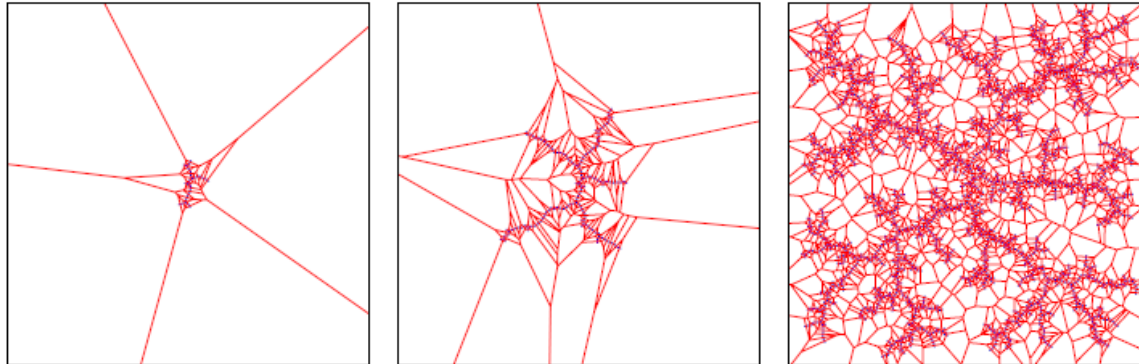
RRT: Rapidly-exploring Random Trees (4)

- Erweiterung eines Baumes

RRT-Baum



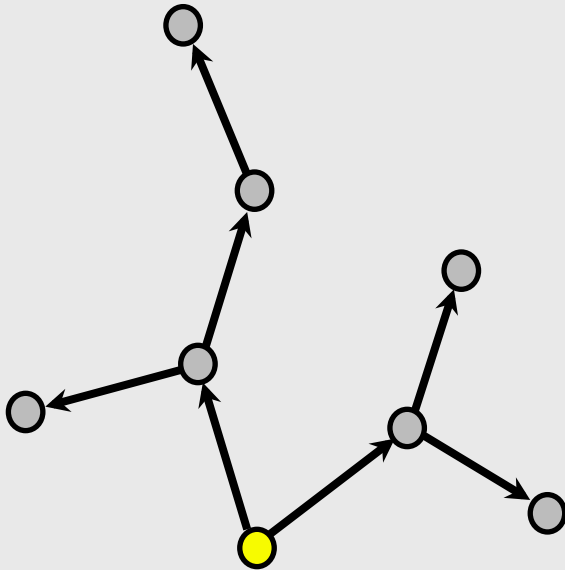
Voronoi-Regionen



RRT: Rapidly-exploring Random Trees (5)

- Welcher Knoten wird am wahrscheinlichsten erweitert?

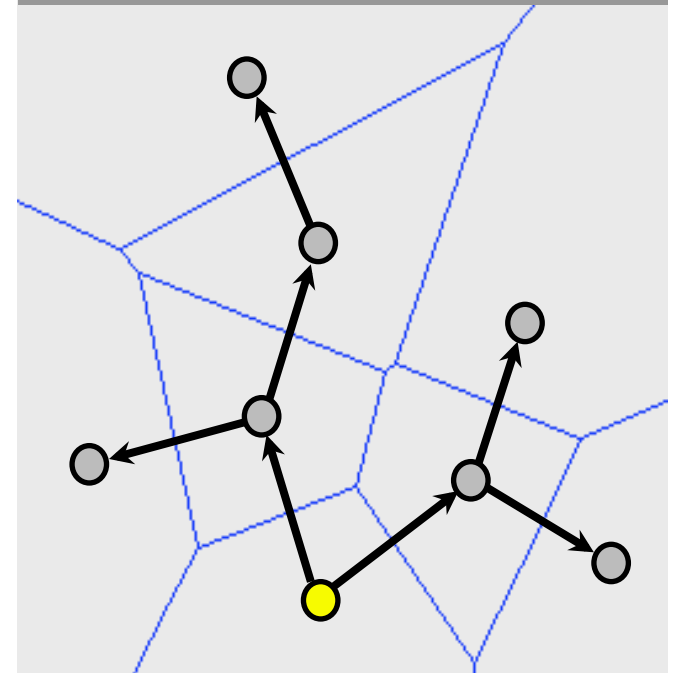
Baum nach 8. Iteration



Knoten mit größter
Voronoi-Region
(Voronoi-Bias)

Voronoi-Gebiete am
Anfang im
Randbereich groß
→ Rasche
Exploration
→ Verfeinerung

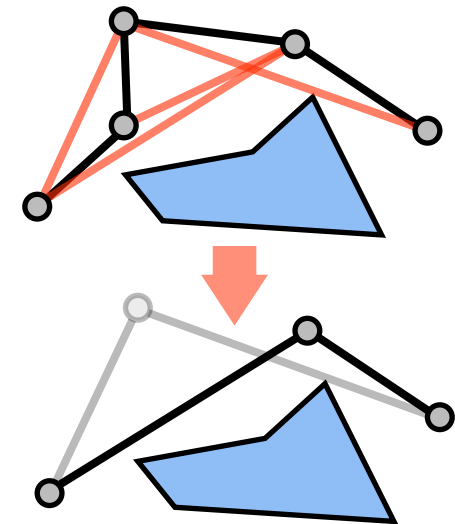
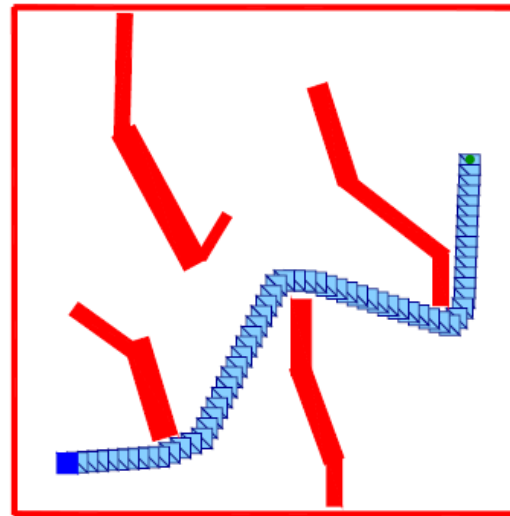
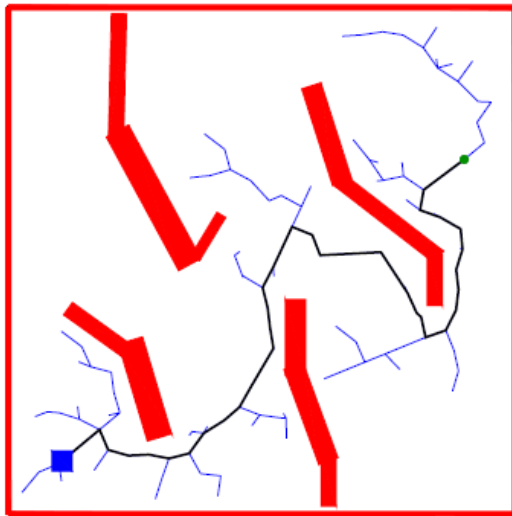
Baum nach 8. Iteration



Die Wahrscheinlichkeit, dass ein Knoten erweitert wird, ist proportional zur Größe der entsprechenden Voronoi-Region

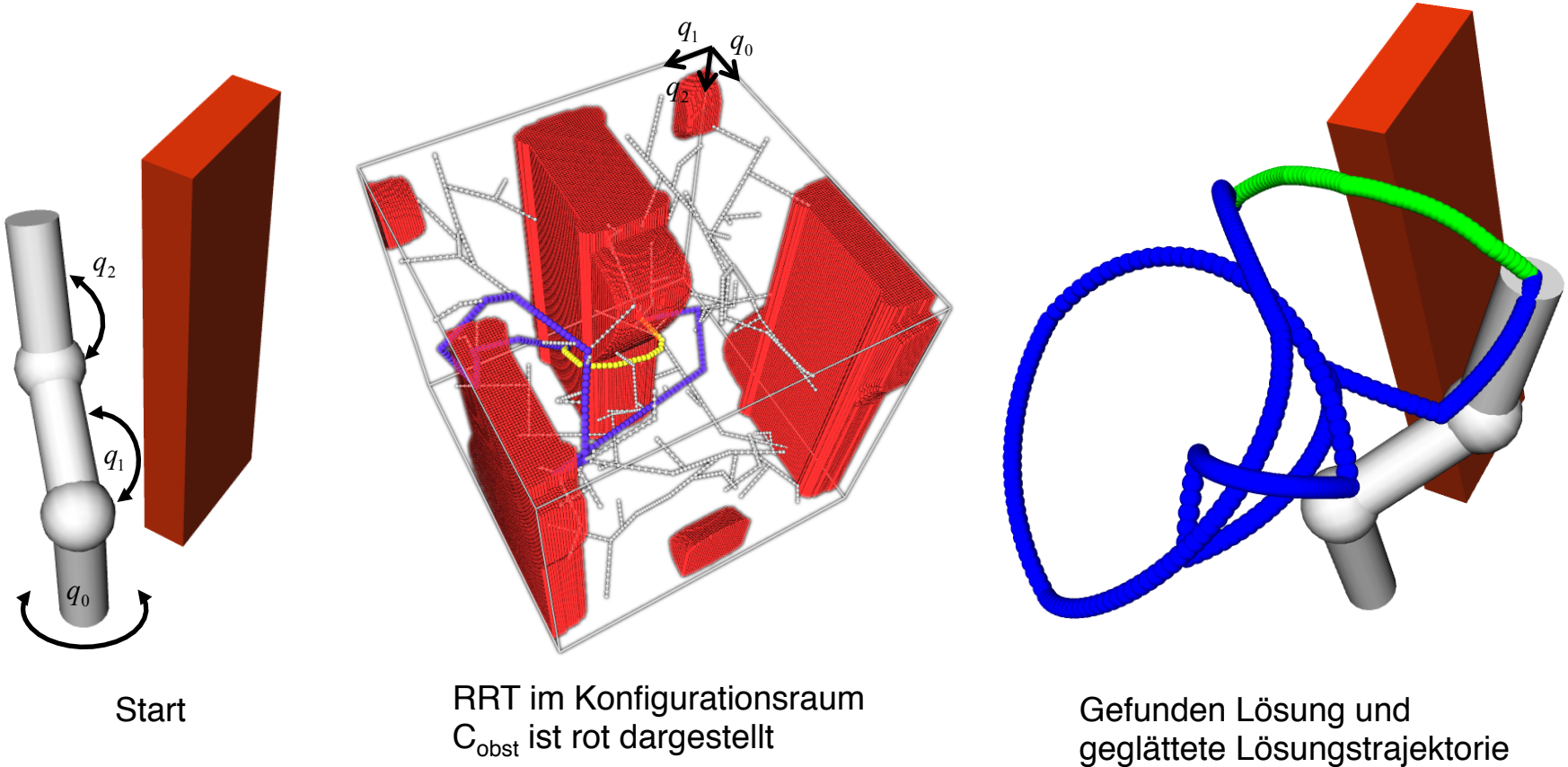
Glättungs-Algorithmus

- Zufällige Wahl zweier Knoten im Lösungsweg
- Falls die Verbindung kollisionsfrei ist, Verbinden der beiden Knoten und Löschen der dazwischenliegenden Knoten aus dem Lösungspfad



RRT: Rapidly-exploring Random Trees (6)

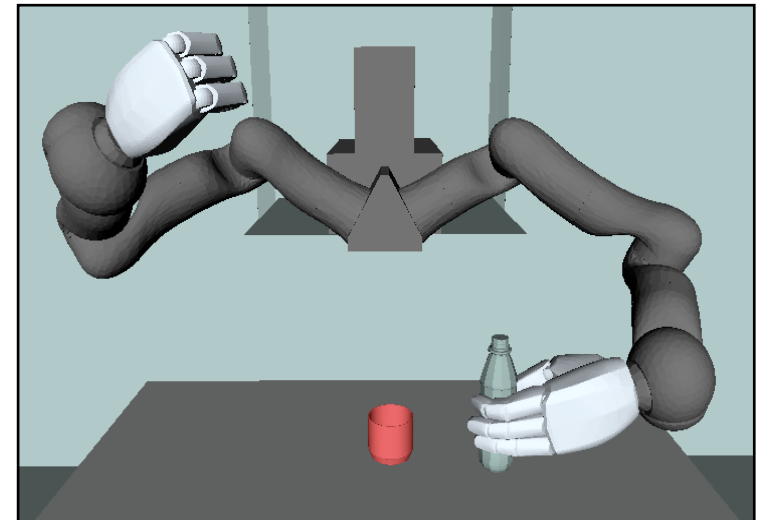
- Beispiel (dreidimensionaler Konfigurationsraum)



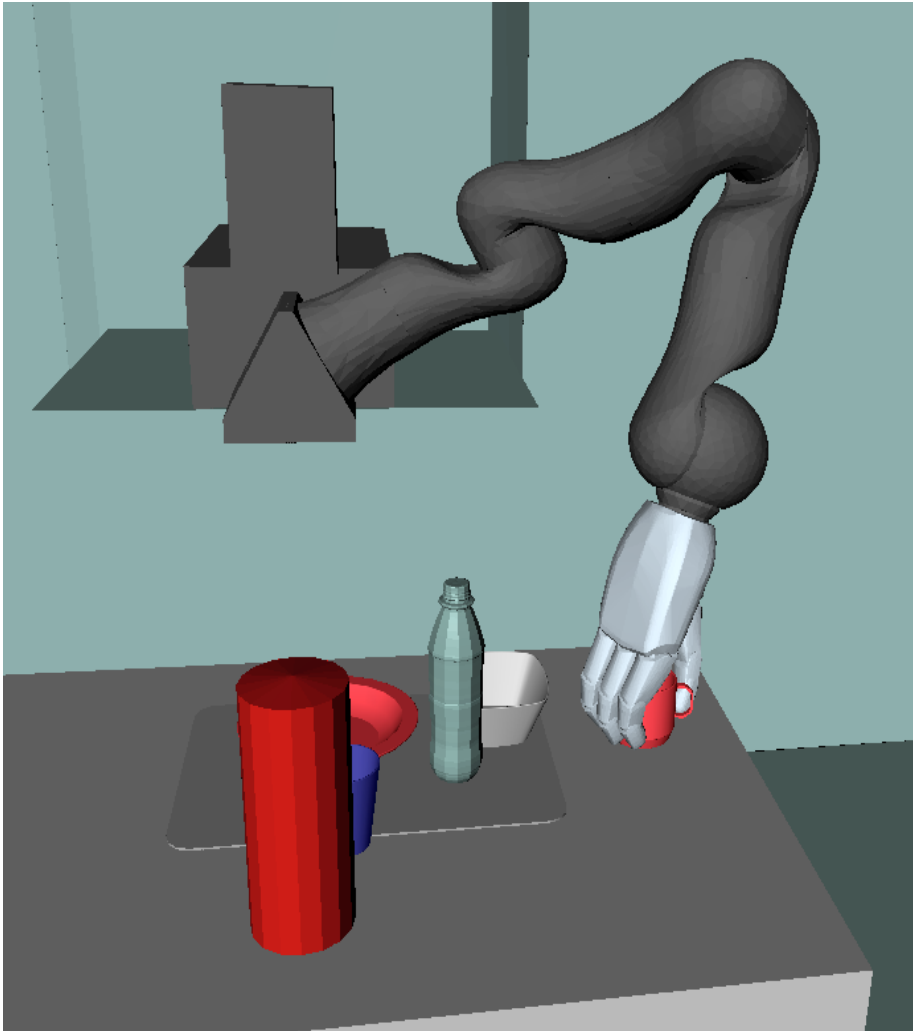
RRT: Rapidly-exploring Random Trees (7)

Beispiel: Holonome Planung für einen Roboterarm mit 7 Freiheitsgraden

- Konfigurationsraum $IK = [0, 1]^7$
- Distanzfunktion auf IK : $d(k,s) = \sum w_i (k_i - s_i)$
- Gewichtsvektor: $(1.5, 1.5, 1.5, 1.25, 1, 1, 1)$
- $\epsilon = 0.001, \delta = 0.01$
- $f_{Ziel}(K) = 1 \Leftrightarrow K = K_{Ziel}$
- $f_{Weg}(K) = 1 \Leftrightarrow K$ ist kollisionsfrei

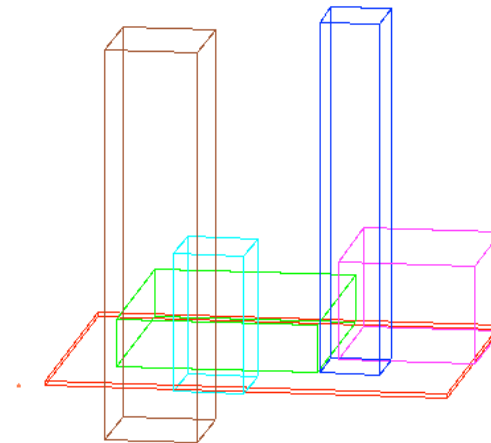


Planung für linken Arm ohne Hand



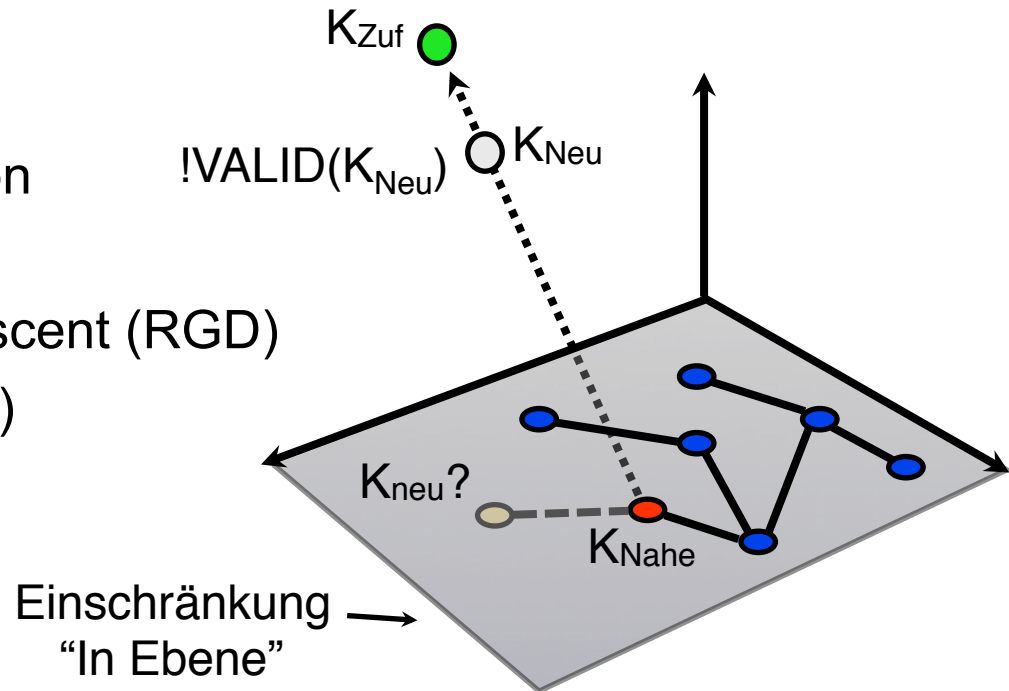
Nodes

- Object 9 —
- Object 10 —
- Object 11 —
- Object 12 —
- Object 13 —
- Object 14 —
- Nodes •
- Targetnodes •



RRT-Erweiterung

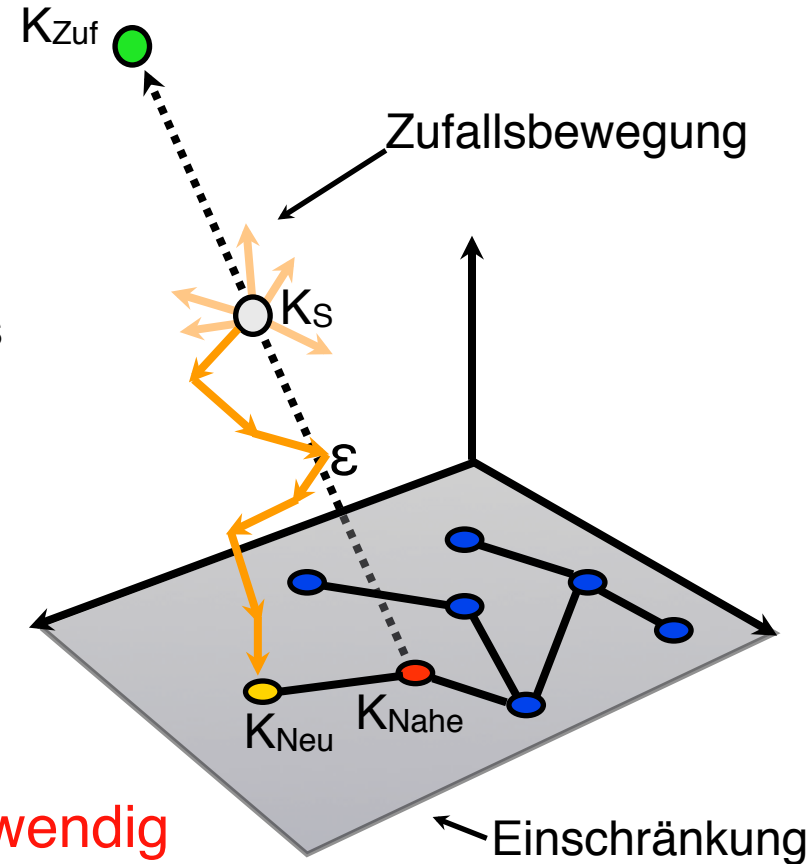
- $VALID(K)$ unzureichend für Einschränkungen mit $P(VALID(K)) = 0$
- Erweiterung: Berechnung von Distanz und/oder Richtung zu Konfiguration im Freiraum
- Ersetzung der Extend-Funktion
- Beispiele:
 - Randomized Gradient Descent (RGD)
 - First Order Retraction (FR)



Randomized Gradient Descent (RGD)

- Toleranzwert für Einschränkungen: α
- Zufällige Bestimmung von n Nachbarn von K_S (in Hyperkugel mit Radius d_{\max})
- Falls minimale Distanz der Nachbarn kleiner als die Distanz von K_S , ersetze K_S mit dem Nachbarn mit kleinster Distanz
- Wiederholen bis maximale Iterationszahl erreicht oder die Distanz von $K_S < \alpha$ ist

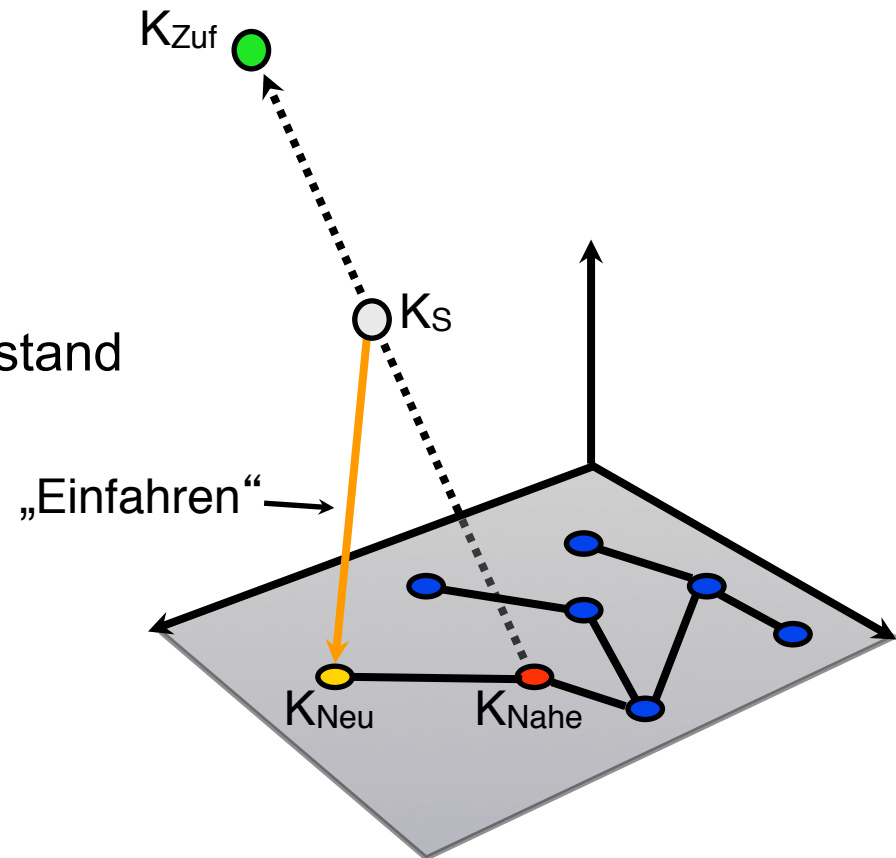
➔ Keine Richtungsinformation notwendig

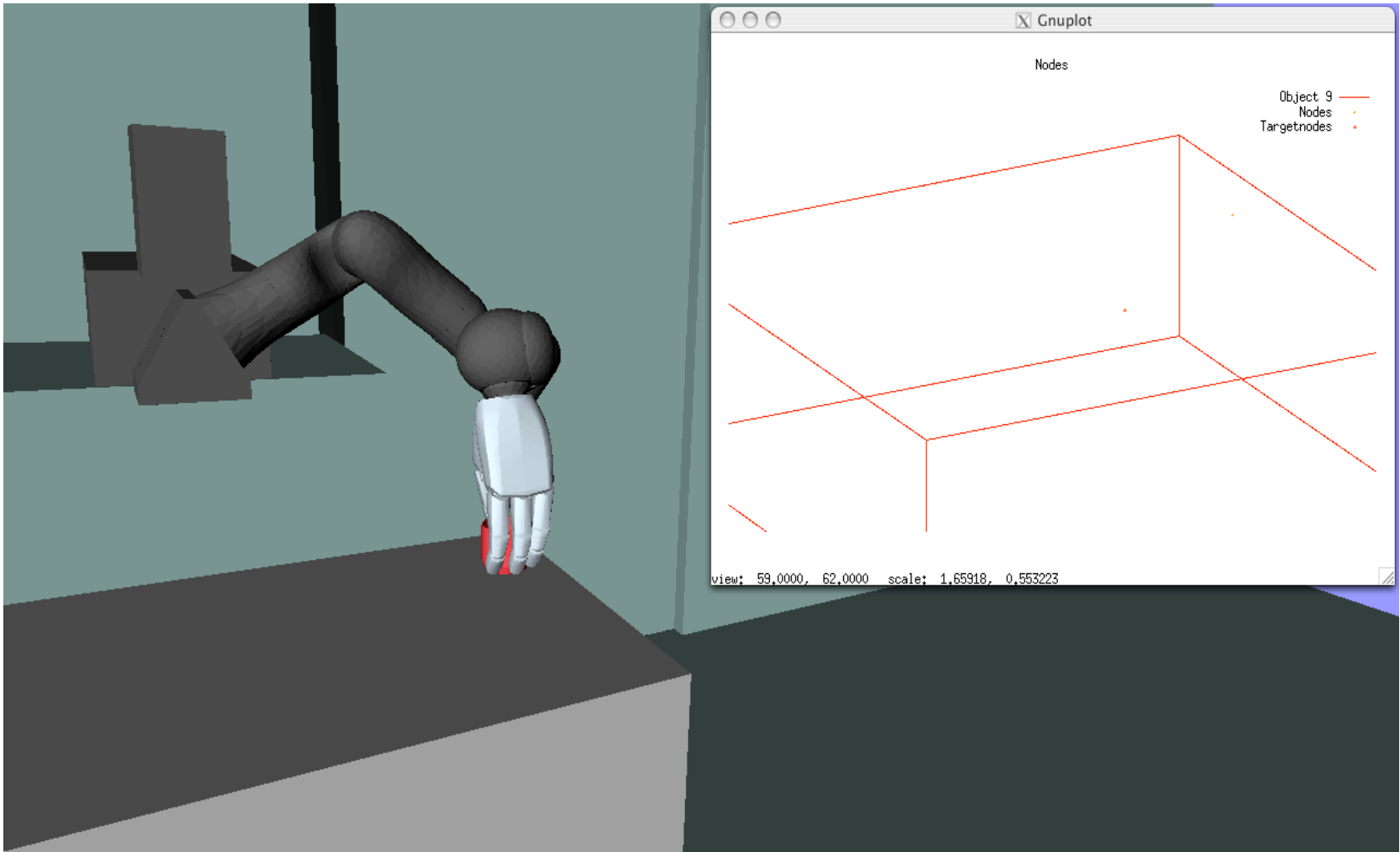


First Order Retraction (FR)

- Toleranzwert für Einschränkungen: α
- Speichern von K_S in K_O
- Berechnen der Distanz Δx von K_S
- „Einfahren“ von K_S :

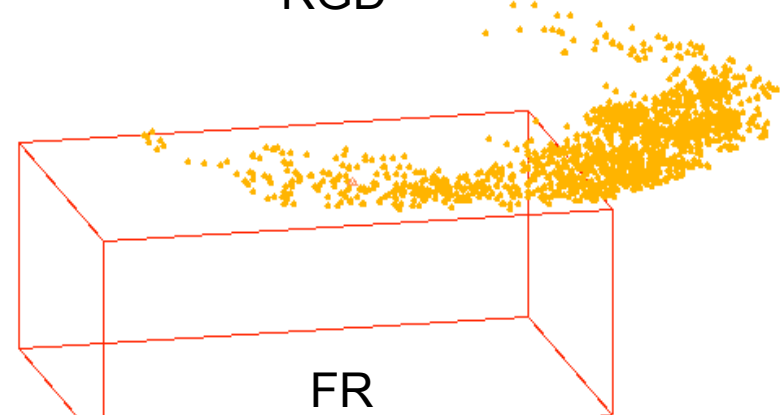
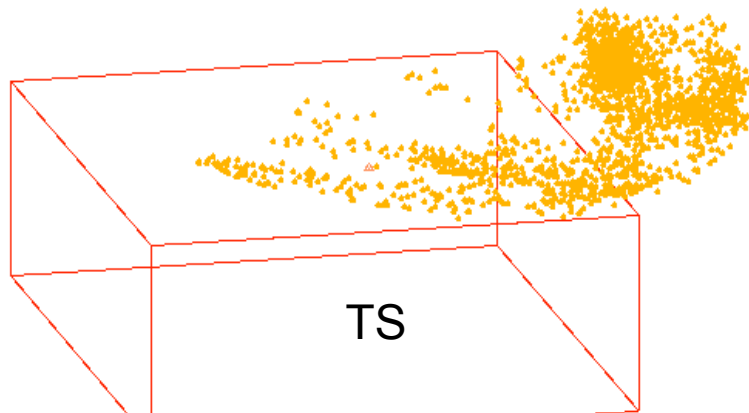
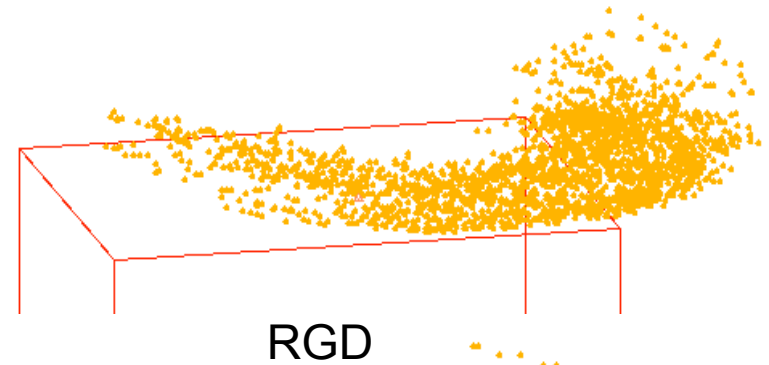
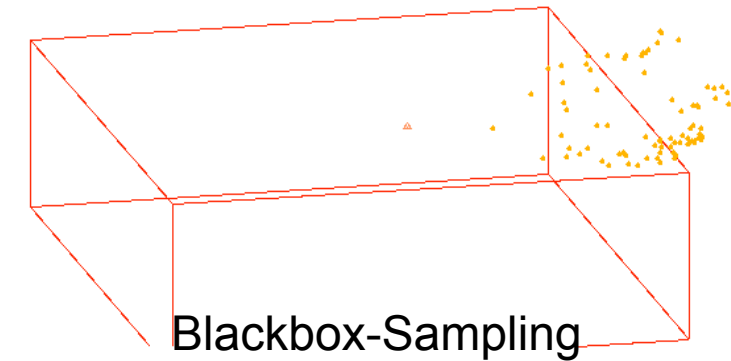
$$K_S = K_S - J(K_S)^{\dagger} \Delta x$$
- Iterieren bis die Distanz $< \alpha$ oder Abstand $|K_O - K_S|$ größer als $|K_O - K_{Nahe}|$





Beispiel: Stichprobenverteilung

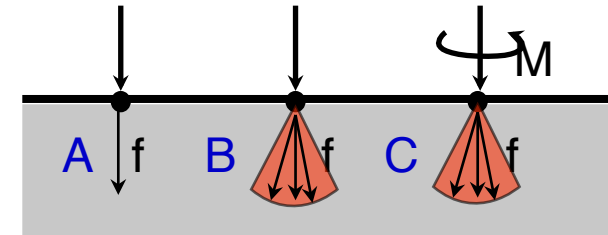
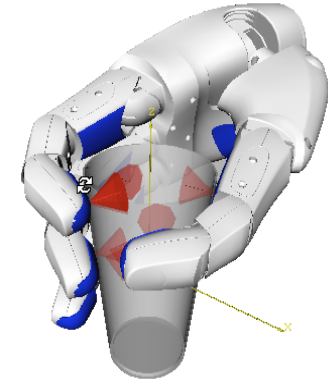
- Jacobimatrix-basierte Ansätze bei komplexeren Einschränkungen im Vorteil



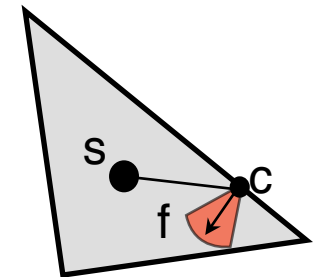
- Motivation
- Grundlagen der Bahnplanung
- Planungsverfahren für
 - Mobile Roboter
 - Manipulatoren
 - Robotergreifer
 - Grundlagen
 - Vorwärtsgreifplanung

Übersicht

- Ziel: Berechnung eines Griffs, d.h. Menge von Kontaktstellen zwischen Roboter und Objekt
- Kontaktstellen:
 - Punktkontakt ohne Reibung (A)
 - Starrer Punktkontakt mit Reibung (B)
 - Nicht-starrer Punktkontakt mit Reibung („soft finger contact“) (C)
 - Flächenkontakte
- Wirkung auf Objekt
 - Wrenchvektor: Kraft + Moment auf Objekt:

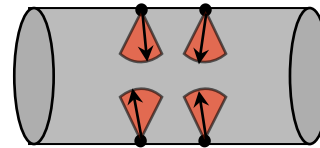


$$\begin{pmatrix} f \\ (c-s) \times f \end{pmatrix}$$



Definitionen

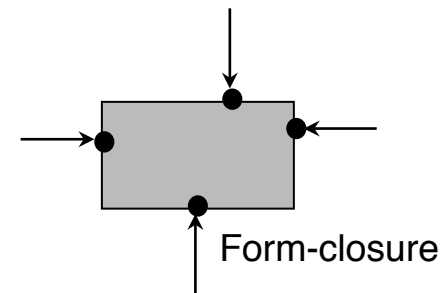
- Beschreibung der Griffqualität:
 - Cone Wrench Space
 - Grasp Wrench Space
 - Task Wrench Space



GWS: alle möglichen Summen aus jeweils einem Wrenchvektor jedes einzelnen Kegels

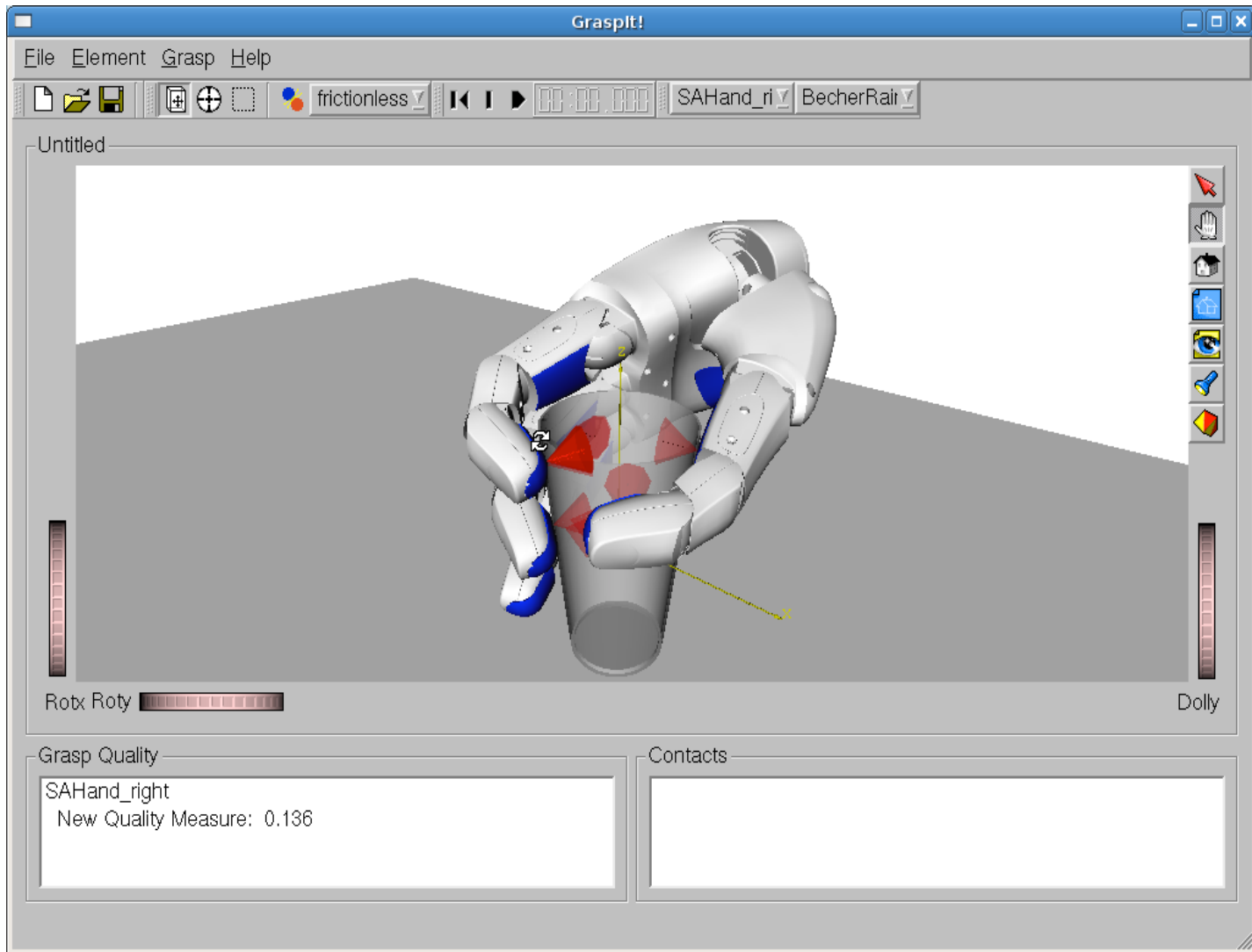


- Eigenschaften eines Griiffs:
 - Widerstand gegen Stöße (beliebiger externer Wrench w):
 - **Force-closure: $-w$ liegt im GWS**
 - Form-closure: geometrische Einschränkung
- Qualitätsmaße für Griffe (Grasp quality measure)
 - Beispiel: größte Hyperkugel um 0, die im GWS liegt



Vorwärtsgreifplanung

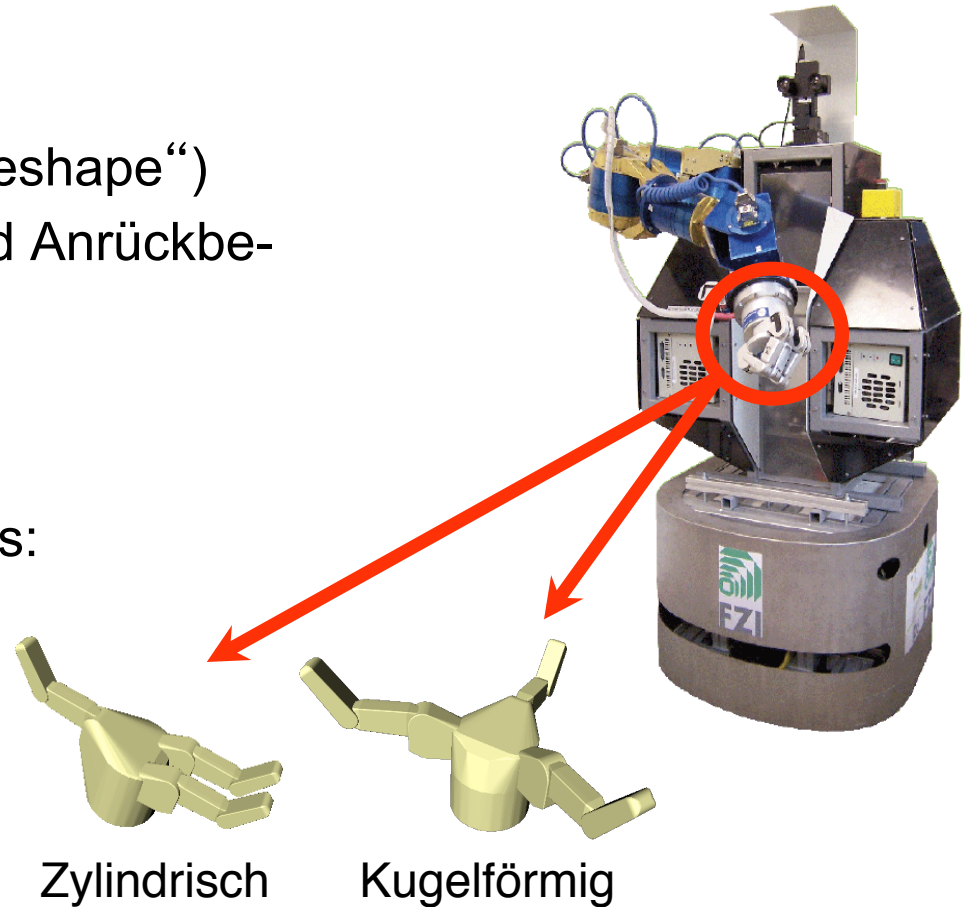
1. Setze Gelenkwinkel des Handmodells vor dem Zugreifen, z.B. prismatischer Kraftgriff
2. Setze 3d-Handmodell relativ zu Objekt vor dem Anrücken
3. Bewege Hand auf das Objekt zu
4. Schließe jeden einzelnen Finger bis auf Kontakt
5. Bestimme Kraftkegel in allen Kontaktpunkten
6. Berechne Griffqualität
7. * Iteriere bis Griff mit hoher Griffqualität gefunden



Graspt!: Vorwärtsgreifplanung

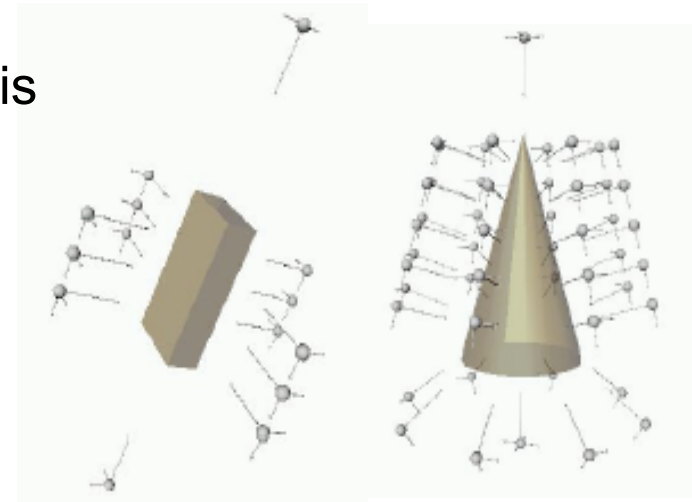
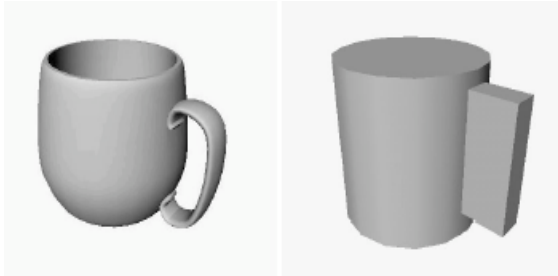
Miller03: Automatic Grasp Planning Using Shape Primitives

- Übersicht:
 - Vorgabe einer Griffform („preshape“)
 - Vorgabe einer Startpose und Anrückbewegung
 - Durchführung des Griffs
 - Evaluation mit Qualitätsmaß
 - Zwei vordefinierte Preshapes:



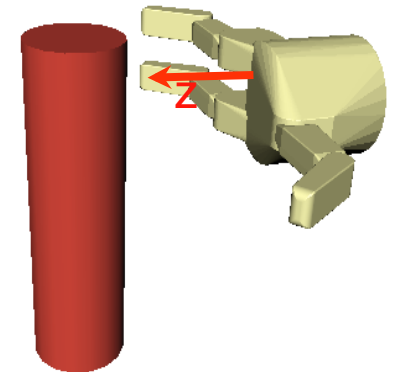
Graspl!: Vorwärtsgreifplanung

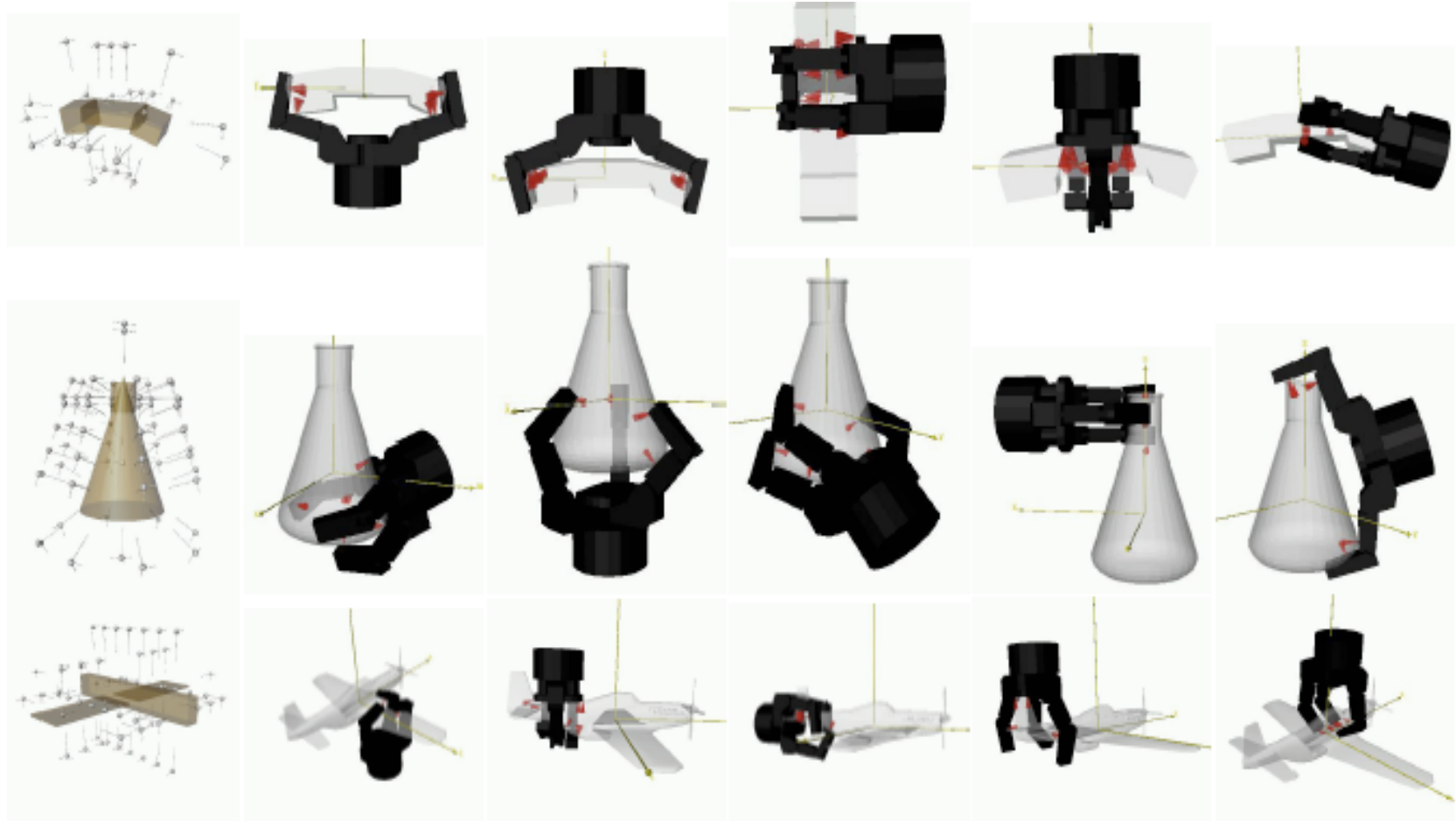
- Greifstrategie (Preshape, Startlage) auf Basis einer Zerlegung des Objekts in Primitive:
 - Kugeln, Zylinder, Kegel, Quader

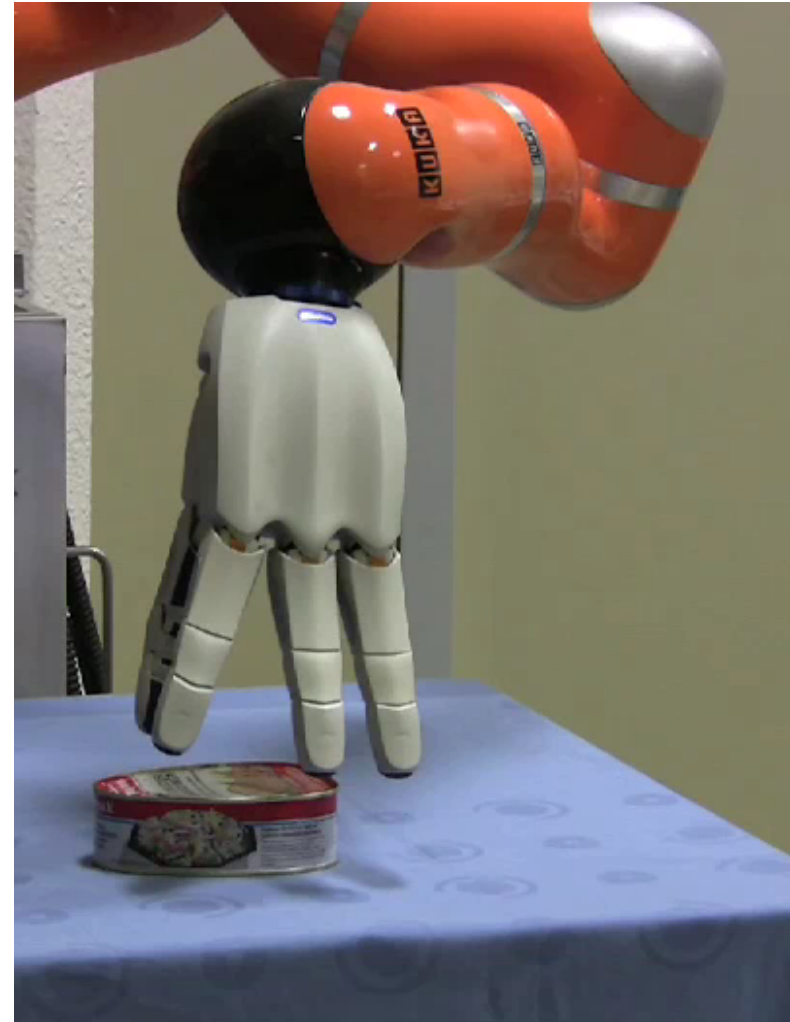
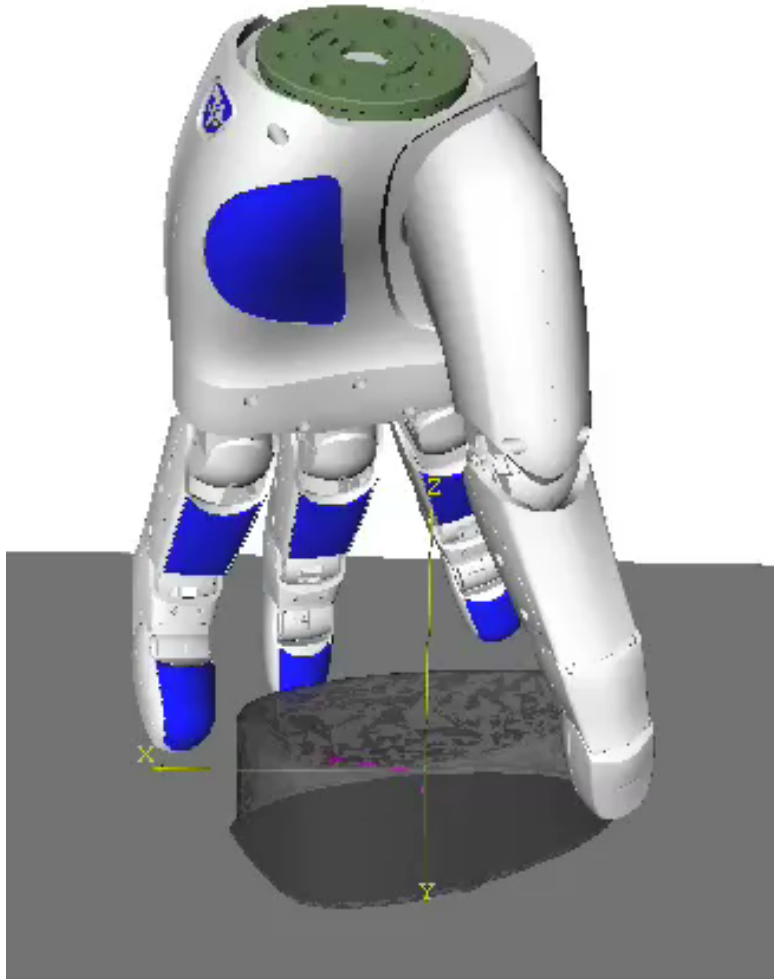


generierte Greifstrategien

- Vorgabe einer Menge von Greifstrategien für jedes Objektprimitive
- Anrückbewegung: linear in z-Richtung bis zu einem Kontakt und danach Backtracking







Programmieren durch Vormachen